



1

2

3

Grafos cuasi-aleatorios y lema de regularidad de Szemerédi

4

5

Estudiante:
Felipe Sánchez Erazo

6

Profesor Guía:

7

Dr. Hiệp Hàn

8

9

Tesis para optar al título de Ingeniero Matemático de la Universidad de Santiago de Chile

10

11

Departamento de Matemática y Ciencia de la computación
Universidad de Santiago de Chile

A mi abuelo, Sergio Sánchez.

1. Introducción

2. Preliminares

Este capítulo proporciona una introducción concisa de los conceptos y terminologías que se utilizarán en esta tesis. La sección 2.1 da un paseo por las nociones más básicas de la teoría de grafos, otorgando una línea de base para el desarrollo del documento. En la sección 2.2 se repasan algunos conceptos y resultados clásicos del álgebra lineal para abordar las propiedades necesarias de la teoría espectral de grafos. Por último, la sección 2.3 contextualiza y motiva el contenido de la sección 3.

En muchos de los resultados de esta tesis, la *desigualdad de Cauchy-Schwarz* (DCS) es un argumento fundamental en sus demostraciones. En particular, se emplearán dos variantes que se enunciarán a continuación. Primero recuerde que la DCS establece que todo $\mathbf{a}, \mathbf{b} \in \mathbb{R}^k$ satisfacen

$$\sum_{i=1}^k a_i^2 \sum_{i=1}^k b_i^2 \geq \left(\sum_{i=1}^k a_i b_i \right)^2. \quad (1)$$

Entonces, si $\mathbf{b} = (1, \dots, 1)$, se obtiene la primera variante:

$$\sum_{i=1}^k a_i^2 \geq \frac{1}{k} \left(\sum_{i=1}^k a_i \right)^2. \quad (2)$$

Adicionalmente, considerando los reales $\alpha_1, \dots, \alpha_k > 0$ y $\beta_1, \dots, \beta_k \geq 0$, defina $a_i = \sqrt{\alpha_i}$ y $b_i = \frac{\beta_i}{\sqrt{\alpha_i}}$ para conseguir la segunda variante:

$$\sum_{i=1}^k \frac{\beta_i^2}{\alpha_i} \geq \frac{\left(\sum_{i=1}^k \beta_i \right)^2}{\sum_{i=1}^k \alpha_i}. \quad (3)$$

Por otro lado, será usual utilizar la notación asintótica para destacar la intuición de algunos resultados. Por esto, se define la notación considerando $f, g \neq 0$ como funciones de n :

- Si $\lim_{n \rightarrow \infty} f(n)/g(n) \rightarrow 0$, se dice que $f = o(g)$.
- Si $\lim_{n \rightarrow \infty} f(n)/g(n) < \infty$, se dice que $f = O(g)$.

2.1. Teoría de grafos

Se denota al conjunto de los primeros n naturales por $[n] := \{1, 2, \dots, n\}$. También, si S es un conjunto finito y r es un entero positivo, se establece $\binom{S}{r}$ como el conjunto de todos los subconjuntos de r elementos de S .

Un **grafo** es un par $G = (V, E)$, donde V representa el conjunto de **vértices**, y $E \subseteq \binom{V}{2}$ el conjunto de **aristas**. Dado un grafo G , se escribe $V(G)$ como su conjunto de vértices, $E(G)$ como su conjunto de aristas, y $e_G := |E(G)|$ como la cantidad de aristas presentes en el grafo.

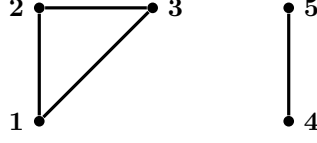


Figura 1: Ejemplo de un grafo con conjunto de vértices $V = \{1, 2, 3, 4, 5\}$ y conjunto de aristas $E = \{12, 23, 13, 45\}$.

38 Dado un grafo cualquiera $G = (V, E)$ y $u, v \in V$, se dirá que u es **adyacente** a v (o viceversa)
 39 si y solamente si $uv \in E$. Si $X, Y \subset V$ son dos subconjuntos no necesariamente disjuntos, se define
 40 el conjunto de tuplas que forman una arista en G de la siguiente manera:

$$e(X, Y) := \left| \{(x, y) \in X \times Y : xy \in E\} \right|. \quad (4)$$

41 Cuando $X \cap Y = \emptyset$, $e(X, Y)$ cuenta el número de aristas entre X e Y , y cuando $X \cap Y \neq \emptyset$,
 42 $e(X, Y)$ realiza un doble conteo sobre las aristas que se encuentran en $X \cap Y$. Se entenderá por
 43 **vecindad** de $u \in V$ como el conjunto de todos los vértices adyacentes a u , es decir,

$$N(u) := \{v \in V(G) : uv \in E(G)\}. \quad (5)$$

44 Si $\mathbb{1}_X$ denota la función indicatriz de un conjunto X , se define el **grado** de un vértice $u \in V$
 45 con respecto a algún subconjunto de vértices $Y \subseteq V$ de la siguiente manera:

$$\deg(u; Y) := \sum_{v \in Y} \mathbb{1}_E(uv) = |N(u) \cap Y|.$$

46 En particular, cuando $Y = V$,

$$\deg(u) = \sum_{v \in V} \mathbb{1}_E(uv) = |N(u)|.$$

47 Una propiedad elemental en teoría de grafos, es la relación que guarda la suma del grado de
 48 todos los vértices y la cantidad de aristas de un grafo.

49 **Proposición 1.** *Dado un grafo $G = (V, E)$, entonces*

$$\sum_{u \in V} \deg(u) = 2e_G. \quad (6)$$

50 *Demostración.* Cada arista $uv \in E$ será contada dos veces en la suma, una contribución por u , y
 51 otra por v . □

52 En algunas ocasiones estaremos interesados en la cantidad de vecinos que comparten dos vértices
 53 del grafo $G = (V, E)$. Entonces, se define el **cogrado** de un par de vértices $u, v \in V$ no necesaria-
 54 mente diferentes mediante:

$$\text{cogdeg}(u, v) = \sum_{w \in V} \mathbb{1}_E(wu) \mathbb{1}_E(wv) = |N(u) \cap N(v)|.$$

55 Mostraremos que existe una relación intrínseca entre los conceptos de grado y cogrado, cual será
 56 de utilidad en la sección 3.

57 **Proposición 2.** Sea $G = (V, E)$ un grafo e $Y \subset V$ un subconjunto de vértices, entonces

$$\sum_{u \in V} \deg(u; Y)^2 = \sum_{v \in Y} \sum_{v' \in Y} \text{codeg}(v, v').$$

58 *Demostración.* Utilizando las respectivas definiciones de grado y cogrado, el resultado se obtiene
59 de seguir el siguiente cálculo:

$$\begin{aligned} \sum_{u \in V} \deg(u; Y)^2 &= \sum_{u \in V} \sum_{v \in Y} \sum_{v' \in Y} \mathbb{1}_E(uv) \mathbb{1}_E(uv') \\ &= \sum_{v \in Y} \sum_{v' \in Y} \sum_{u \in V} \mathbb{1}_E(vu) \mathbb{1}_E(v'u) \\ &= \sum_{v \in Y} \sum_{v' \in Y} \text{codeg}(v, v'). \end{aligned}$$

60 □

61 Observe que en particular, cuando $Y = V$, se satisface

$$\sum_{u \in V} \deg(u)^2 = \sum_{u \in V} \sum_{v \in V} \text{codeg}(u, v). \quad (7)$$

62 A continuación, se enuncian algunos grafos especiales que son contemplados en esta tesis. Di-
63 remos que un grafo $G = (V, E)$ es **k -partito** si V se puede dividir en k subconjuntos disjuntos
64 V_1, V_2, \dots, V_k tales que si $uv \in E$ entonces $u \in V_i$ y $v \in V_j$, con $i \neq j$. En particular, a un grafo
65 2-partito lo llamaremos **bipartito**.

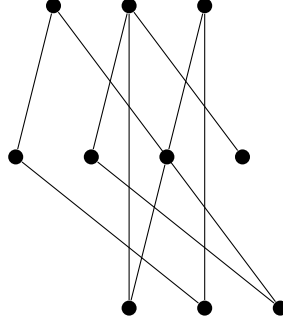


Figura 2: Ejemplo de un grafo 3-partito.

66 Un **grafo completo** de n vértices, denotado por K_n , es un grafo en el cual todos sus vértices son
67 adyacentes entre ellos, es decir, todo par de vértices en el grafo posee una arista que los conecta.
68 Similarmente, se denota por $K_{n,m}$ al **grafo bipartito completo** con n y m elementos en sus
69 respectivos conjuntos de vértices. Observe que la cantidad de aristas en los grafos anteriores son
70 exactamente $e_{K_n} = \binom{n}{2}$ y $e_{K_{n,m}} = n \cdot m$. Por último, un grafo **d -regular** es aquel que presenta
71 todos sus vértices con grado d .

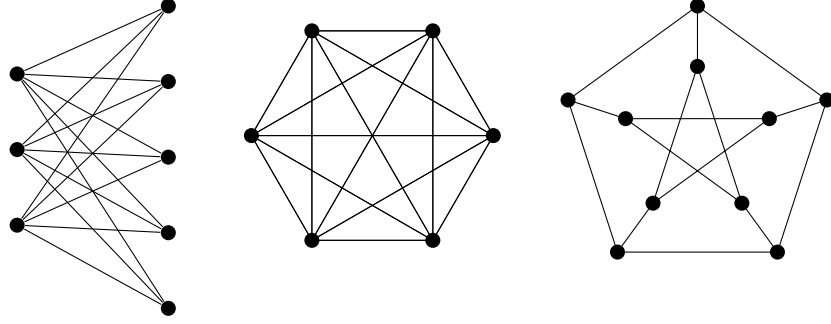


Figura 3: Ejemplo de los grafos especiales $K_{3,5}$, K_6 y 3-regular.

Otro concepto relevante en este trabajo, son las diferentes nociones de rutas que se pueden encontrar siguiendo una determinada secuencia de aristas en un grafo. Suponga que el grafo G posee $n \geq k$ vértices, entonces se definen los siguientes conceptos:

- Una **caminata**, es una secuencia de vértices no necesariamente distintos v_0, v_1, \dots, v_k tales que $v_{i-1}v_i \in E(G)$ para todo $i \in [k]$. Si $v_0 = v_k$, se dice que es una **caminata cerrada**. El **largo** de una caminata está determinado por la cantidad de aristas que ésta posea.
- Un **ciclo**, es una caminata con $k \geq 2$ vértices únicos a excepción de v_k , que coincide con v_0 . Se denotará por C_k al ciclo de largo k .

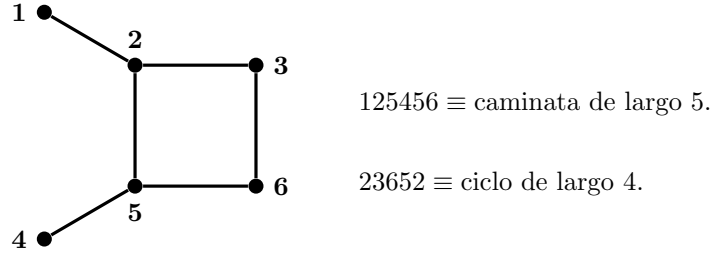


Figura 4: Ejemplo de una caminata y un ciclo.

Por otro lado, para estudiar posteriormente relaciones estructurales entre grafos, se define un **isomorfismo** entre los grafos H y G como una biyección $f : V(H) \rightarrow V(G)$ tal que $uv \in E(H)$ si y solamente si $f(u)f(v) \in E(G)$. Si existe tal biyección, diremos que H y G son isomorfismos.

Finalmente, se define una **copia etiquetada** de un grafo H en G , como la aplicación inyectiva $f : V(H) \rightarrow V(G)$ tal que $f(u)f(v) \in E(G)$ cada vez que $uv \in E(H)$. En otras palabras, es un mapeo de los vértices de H a los de G que preserva las aristas. Se denotará por $\binom{G}{H}$ al conjunto de copias etiquetadas de H en G .

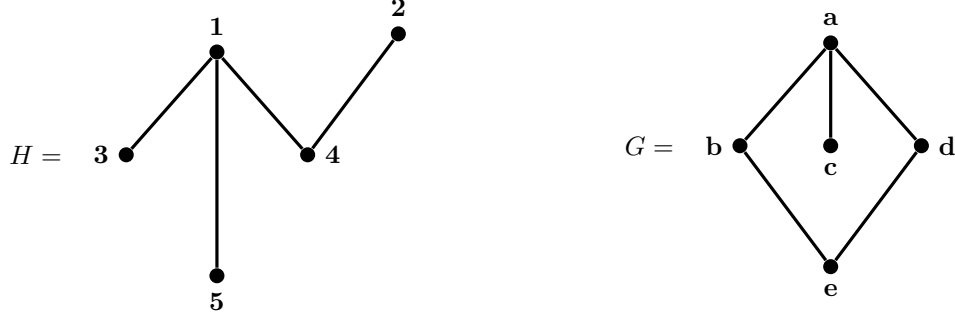


Figura 5: Ejemplo de una copia etiquetada de H en G mediante la función $f : V(H) \rightarrow V(G)$ definida por $f(1) = a$, $f(2) = e$, $f(3) = c$, $f(4) = b$ y $f(5) = d$.

2.2. Álgebra lineal y teoría espectral de grafos

Se define $\mathcal{M}_{n \times m}(\mathbb{R})$ como el conjunto de matrices reales de n filas y m columnas, y denotaremos A^T como la matriz traspuesta de $A \in \mathcal{M}_{n \times m}(\mathbb{R})$. También, representaremos por $\mathbf{1} \in \mathcal{M}_{n \times 1}(\mathbb{R})$ al vector de solo 1-entradas, $J \in \mathcal{M}_{n \times n}(\mathbb{R})$ a la matriz de solo 1-entradas, $I_n \in \mathcal{M}_{n \times n}(\mathbb{R})$ a la matriz identidad, y $\mathbf{e}_i \in \mathcal{M}_{n \times 1}(\mathbb{R})$ como el vector de la base canónica de \mathbb{R}^n con entrada 1 en la posición i . Además, $\|\cdot\|$ y $\langle \cdot, \cdot \rangle$ representarán en todo momento la norma y producto interno usuales de \mathbb{R}^n (\mathbb{C}^n , según corresponda) respectivamente.

Considerando una matriz cuadrada $A \in \mathcal{M}_{n \times n}(\mathbb{R})$, se define la **traza** de A como la suma de sus elementos de la diagonal principal. Esto es,

$$\text{Tr}(A) = a_{11} + a_{22} + \dots + a_{nn}.$$

Si $A, B \in \mathcal{M}_{n \times n}(\mathbb{R})$, entonces la traza resulta invariante bajo el orden de multiplicación de dichas matrices. En efecto,

$$\text{Tr}(AB) = \sum_{i=1}^n \left(\sum_{j=1}^n a_{ij} b_{ji} \right) = \sum_{j=1}^n \left(\sum_{i=1}^n a_{ij} b_{ji} \right) = \text{Tr}(BA).$$

Una manera muy útil de representar un grafo es mediante una matriz cuadrada binaria, en la que sus filas y columnas representarán todos los vértices del grafo. La matriz adopta el valor 1 en las coordenadas en que sus respectivos vértices forman una arista, y 0 cuando no. Bajo esta representación se consigue una visión clara y eficiente entre las relaciones de los vértices del grafo, y se gozan de las propiedades que ofrece el álgebra lineal.

Definición 3. Dado un grafo G sobre n vértices, se define su **matriz de adyacencia** $A_G \in \mathcal{M}_{n \times n}(\mathbb{R})$ de la siguiente manera:

$$a_{ij} = \begin{cases} 1 & \text{si } ij \in E(G), \\ 0 & \text{en otro caso.} \end{cases}$$

Cuando el contexto sea claro, la matriz de adyacencia será representada simplemente por A .

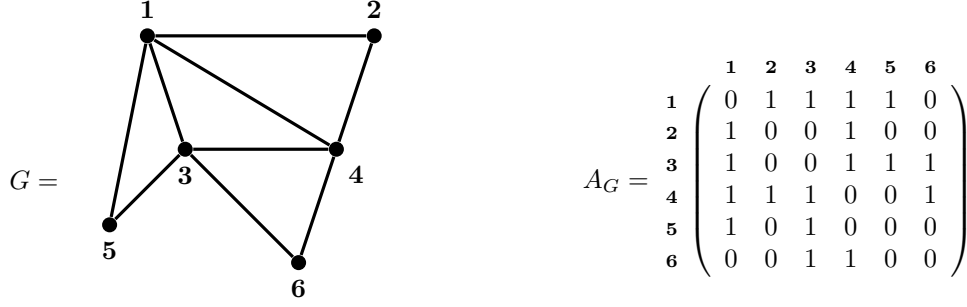


Figura 6: Ejemplo de representación de un grafo mediante la matriz de adyacencia.

Observe que la construcción anterior resulta siempre en una matriz simétrica, es decir, $A_G^T = A_G$. Además, a partir de todo grafo $G = ([n], E)$ con matriz de adyacencia A , se puede obtener un vector con los grados de todos los vértices del grafo aplicando el operador A al vector de 1-entradas:

$$A\mathbf{1} = \begin{pmatrix} \deg(1) \\ \vdots \\ \deg(n) \end{pmatrix} \quad (8)$$

Otro aspecto interesante de la matriz de adyacencia que será de utilidad en la sección 4, es que nos permite reescribir la ecuación (4) en función de ella. Para ver esto, considere la matriz de adyacencia A del grafo $G = ([n], E)$, y los vértices $i, j \in [n]$. Luego, según la definición 3,

$$e(\{i\}, \{j\}) = \mathbf{e}_i^T A \mathbf{e}_j = a_{ij}.$$

Y así, por linealidad, se extiende el resultado anterior sobre cualquier conjunto $X, Y \subset [n]$.

$$e(X, Y) = \sum_{i \in X} \sum_{j \in Y} \mathbf{e}_i^T A \mathbf{e}_j = \mathbf{v}_X^T A \mathbf{v}_Y. \quad (9)$$

En la ecuación anterior, y desde ahora en adelante, el vector $\mathbf{v}_X = \sum_{i \in X} \mathbf{e}_i$ representa el vector indicador del subconjunto de vértices $X \subset [n]$ de algún grafo $G = ([n], E)$.

Es importante destacar que la matriz de adyacencia no solo describe las conexiones entre cada par de vértices en un grafo, sino que también revela la cantidad exacta de caminatas que existen entre dos vértices de un largo determinado. En específico, la posición ij de la t -ésima potencia de la matriz de adyacencia de un grafo guarda la cantidad de caminatas de largo t entre los vértices i y j .

Proposición 4. Sea A la matriz de adyacencia de grafo $G = ([n], E)$. La (i, j) -ésima entrada $a_{ij}^{(t)}$ de A^t , cuenta la cantidad de caminatas de largo t que comienzan y terminan en los vértices i y j respectivamente.

Demostración. Cuando $t = 1$, existe una caminata de largo 1 que conecta los vértices i y j si y solamente si $a_{ij}^{(1)} = 1$. Ahora, asuma que el lema se cumple para algún $t > 1$ fijo. Note que cualquier

126 caminata de largo $t + 1$ entre i y j contiene una caminata de largo t desde i hasta un vecino de j ,
 127 digamos k . Entonces si $k \in N(j)$, por la asunción del lema, el número de caminatas de largo t entre
 128 i y k es $a_{ik}^{(t)}$. Por lo tanto, el número total de caminatas de largo $t + 1$ desde i hasta j es exactamente

$$\sum_{k \in V} a_{ik}^{(t)} \mathbb{1}_{N(j)}(k) = \sum_{\ell=1}^n a_{i\ell}^{(t)} a_{\ell j} = a_{ij}^{(t+1)}.$$

129

□

130 Una consecuencia directa de la proposición anterior, es que en cualquier grafo $G = ([n], E)$ con
 131 matriz de adyacencia A se puede representar la cantidad total de caminatas cerradas de largo t por
 132 medio de la traza, $\text{Tr}(A^t) = \sum_{i=1}^n a_{ii}^{(t)}$. Con esto, note que $\text{Tr}(A^2) = 2e_G$.

133 Por otro lado, para introducir algunos aspectos de la teoría espectral de grafos, recuerde que el
 134 vector no nulo $\mathbf{v} \in \mathbb{R}^n$ es un **vector propio** de alguna matriz $A \in \mathcal{M}_{n \times n}(\mathbb{R})$ con **valor propio**
 135 $\lambda \in \mathbb{C}$ si $A\mathbf{v} = \lambda\mathbf{v}$. Esto significa que λ es un valor propio si y solo si $\lambda I_n - A$ es una matriz singular.
 136 Así, los valores propios vienen dados por las raíces del polinomio característico $\det(xI_n - A)$. En
 137 este trabajo, cuando se haga referencia a los valores y vectores propios de un grafo G , siempre será
 138 con respecto a su matriz de adyacencia A . Por ejemplo, si G es un grafo d -regular, entonces con
 139 la igualdad (8) se puede deducir que d es el valor propio asociado al vector propio normalizado de
 140 1-entradas de la matriz de adyacencia A_G .

141 **Proposición 5.** *Sea $A \in \mathcal{M}_{n \times n}(\mathbb{R})$ una matriz real simétrica, entonces todos sus valores propios*
 142 *son reales. Además, si dos vectores propios están asociados a distintos valores propios, entonces éstos*
 143 *son ortogonales. Más aún, el conjunto de todos los vectores propios define una base ortonormal de*
 144 \mathbb{R}^n .

145 *Demostración.* Se comienza probando que los valores propios de A son reales. Sea λ un valor propio
 146 de A y $\mathbf{x} \neq 0$ su correspondiente vector propio. Tomando su conjugado (denotado por \bar{z} al complejo
 147 conjugado de $z \in \mathbb{C}$), se obtiene paralelamente que

$$\begin{array}{ccc} A\mathbf{x} = \lambda\mathbf{x} & & A\bar{\mathbf{x}} = \bar{\lambda}\bar{\mathbf{x}} \\ \Downarrow & & \Downarrow \\ \bar{\mathbf{x}}^T A\mathbf{x} = \lambda\|\mathbf{x}\|^2 & & \mathbf{x}^T A\bar{\mathbf{x}} = \bar{\lambda}\|\mathbf{x}\|^2. \end{array}$$

148 Además, como A es simétrica,

$$\bar{\mathbf{x}}^T A\mathbf{x} = (A\mathbf{x})^T \bar{\mathbf{x}} = \mathbf{x}^T A\bar{\mathbf{x}}.$$

149 Así, ya que $\mathbf{x} \neq 0$, debe ocurrir que $\lambda = \bar{\lambda}$, permitiendo concluir que todos los valores propios
 150 de A son números reales.

151 Por otro lado, considere $\mathbf{u}, \mathbf{v} \in \mathbb{R}^n$ vectores propios distintos de A asociados a los valores propios
 152 $\lambda, \mu \in \mathbb{R} \setminus \{0\}$ respectivamente. Calculamos como sigue,

$$\lambda\langle \mathbf{u}, \mathbf{v} \rangle = \langle \lambda\mathbf{u}, \mathbf{v} \rangle = \langle A\mathbf{u}, \mathbf{v} \rangle = \langle \mathbf{u}, A^T \mathbf{v} \rangle = \langle \mathbf{u}, A\mathbf{v} \rangle = \langle \mathbf{u}, \mu\mathbf{v} \rangle = \mu\langle \mathbf{u}, \mathbf{v} \rangle.$$

153 De esta manera, $\lambda\langle \mathbf{u}, \mathbf{v} \rangle = \mu\langle \mathbf{u}, \mathbf{v} \rangle$ si y solamente si $\langle \mathbf{u}, \mathbf{v} \rangle = 0$. Ya probada la ortogonalidad
 154 de los vectores propios de A , defina $\mathcal{B} = \{\mathbf{u}_1, \mathbf{u}_2, \dots, \mathbf{u}_n\}$ como el conjunto de vectores propios

normalizados de A para probar que \mathcal{B} constituye una base ortonormal de \mathbb{R}^n . Para esto, sean $c_1, \dots, c_n \in \mathbb{R}$ tales que

$$c_1 \mathbf{u}_1 + c_2 \mathbf{u}_2 + \dots + c_n \mathbf{u}_n = \mathbf{0}.$$

Entonces, para cualquier $i \in [n]$, multiplicando por la izquierda la igualdad anterior por \mathbf{u}_i^T ,

$$\mathbf{u}_i^T (c_1 \mathbf{u}_1 + \dots + c_n \mathbf{u}_n) = c_i \mathbf{u}_i^T \mathbf{u}_i = c_i = 0.$$

Así, queda demostrado que \mathcal{B} es una base ortonormal de \mathbb{R}^n . \square

A continuación, se enunciará sin demostración uno de los teoremas más importantes del álgebra lineal, y se estudiarán algunas de sus consecuencias bajo el contexto de la teoría de grafos.

Teorema 6. (*Teorema espectral*) Sea $A \in \mathcal{M}_{n \times n}(\mathbb{R})$ una matriz real simétrica. Entonces existen matrices P ortogonal y D diagonal tales que

$$A = PDP^T = \sum_{i=1}^n \lambda_i \mathbf{v}_i \mathbf{v}_i^T. \quad (10)$$

En donde la matriz diagonal D está compuesta por los valores propios $\lambda_i \in \mathbb{R}$ de A , y las columnas de P son los vectores propios ortonormales $\mathbf{v}_i \in \mathbb{R}^n$ de A .

Con el teorema anterior es posible representar la matriz de adyacencia de un grafo por medio de dos matrices que dependen únicamente de sus valores y vectores propios para obtener propiedades desde una perspectiva espectral.

En primera instancia, observe que la descomposición espectral (10) permite trabajar eficientemente con las potencias de una matriz real simétrica, puesto a que el problema se reduce a calcular la respectiva potencia de la matriz diagonal de valores propios. Para visualizar este hecho, primero observe como se comporta el cuadrado de una matriz simétrica $A \in \mathcal{M}_{n \times n}(\mathbb{R})$:

$$A^2 = (PDP^T)(PDP^T) = PD(P^T P)DP^T = PD^2 P^T.$$

Luego, de manera inductiva se obtiene que $A^k = PD^k P^T$. Esta propiedad resulta altamente útil de cara al cálculo de caminatas de largo k entre dos vértices de un grafo. Más aún, la Proposición 7 y el Corolario 8 mostrarán que el número de caminatas cerradas en un grafo queda totalmente determinado por los valores propios del mismo.

Proposición 7. La traza de toda matriz simétrica $A \in \mathcal{M}_{n \times n}(\mathbb{R})$ es igual a la suma de sus valores propios.

Demostración. Sea $A \in \mathcal{M}_{n \times n}(\mathbb{R})$ una matriz simétrica, $\lambda_1, \dots, \lambda_n$ sus valores propios, y $\mathbf{v}_1, \dots, \mathbf{v}_n$ sus vectores propios. Se escribe la traza estratégicamente de la siguiente manera:

$$\text{Tr}(A) = \sum_{i=1}^n \mathbf{e}_i^T A \mathbf{e}_i.$$

Con esto, se concluye utilizando la descomposición espectral.

$$\begin{aligned}
\text{Tr}(A) &= \sum_{i=1}^n \mathbf{e}_i^T \left(\sum_{j=1}^n \lambda_j \mathbf{v}_j \mathbf{v}_j^T \right) \mathbf{e}_i \\
&= \sum_{i=1}^n \sum_{j=1}^n \lambda_j \mathbf{e}_i^T \mathbf{v}_j \mathbf{v}_j^T \mathbf{e}_i \\
&= \sum_{i=1}^n \sum_{j=1}^n \lambda_j \langle \mathbf{e}_i, \mathbf{v}_j \rangle \langle \mathbf{v}_j, \mathbf{e}_i \rangle \\
&= \sum_{j=1}^n \lambda_j \|\mathbf{v}_j\|^2 \\
&= \sum_{j=1}^n \lambda_j.
\end{aligned}$$

181

□

182 El siguiente corolario extiende el resultado anterior sobre cualquier potencia de una matriz real
183 simétrica.

184 **Corolario 8.** Sea $A \in \mathcal{M}_{n \times n}(\mathbb{R})$ una matriz simétrica y $\lambda_1, \dots, \lambda_n$ sus valores propios, entonces se
185 cumple $\text{Tr}(A^k) = \sum_{i=1}^n \lambda_i^k$.

186 *Demostración.* El resultado sigue de utilizar que la traza de la multiplicación de dos matrices es
187 invariante bajo el orden de la multiplicación,

$$\text{Tr}(A^k) = \text{Tr}([PDP^T]^k) = \text{Tr}(P[D^k P^T]) = \text{Tr}([D^k P^T]P) = \text{Tr}(D^k) = \sum_{i=1}^n \lambda_i^k.$$

188

□

189 De esta manera, la cantidad de caminatas cerradas de largo k entre dos vértices de un grafo se
190 simplifica a solo calcular la suma de la k -ésima potencia de todos sus valores propios. Más adelante,
191 en la sección 3, esta propiedad será de utilidad debido a que entrega una buena aproximación de
192 la cantidad de copias etiquetadas de ciclos de largo k que existen en un grafo $G = ([n], E)$. En
193 particular, si A es la matriz de adyacencia de G y $\lambda_1, \dots, \lambda_n$ sus valores propios,

$$\left| \binom{G}{C_k} \right| = \text{Tr}(A^k) + o(n^k) = \sum_{i=1}^n \lambda_i^k + o(n^k) \quad (11)$$

194 Finalmente, es posible caracterizar cada valor propio de una matriz real simétrica por medio del
195 teorema de *Courant-Fischer*. Se enuncia sin demostración.

196 **Teorema 9.** (Teorema de Courant-Fischer) Sea $A \in \mathcal{M}_{n \times n}(\mathbb{R})$ una matriz real simétrica, cuyos
197 valores propios son $\lambda_1 \geq \lambda_2 \geq \dots \geq \lambda_n$, y $\{\mathbf{v}_1, \mathbf{v}_2, \dots, \mathbf{v}_n\}$ sus vectores propios. Entonces,

(i)

$$\lambda_k = \inf_{\substack{\mathbf{x} \perp \{\mathbf{v}_1, \dots, \mathbf{v}_{k-1}\} \\ \mathbf{x} \neq 0}} \frac{\langle \mathbf{x}, A\mathbf{x} \rangle}{\langle \mathbf{x}, \mathbf{x} \rangle}.$$

(ii)

$$\lambda_k = \sup_{\substack{\mathbf{x} \perp \{\mathbf{v}_{k+1}, \dots, \mathbf{v}_n\} \\ \mathbf{x} \neq 0}} \frac{\langle \mathbf{x}, A\mathbf{x} \rangle}{\langle \mathbf{x}, \mathbf{x} \rangle}.$$

Usualmente, el primer valor propio de todo grafo juega un papel protagónico. Para los fines de estas tesis, es necesario establecer una cota inferior del primer valor propio.

Proposición 10. *El primer valor propio de la matriz de adyacencia de un grafo es al menos el promedio de los grados. En particular, cuando el grafo es d -regular, el primer valor propio coincide con d .*

Demostración. Considerando A como la matriz de adyacencia del grafo $G = ([n], E)$, se desarrolla en función del Teorema 9:

$$\lambda_1 = \sup_{\substack{\mathbf{x} \in \mathbb{R}^n \\ \mathbf{x} \neq 0}} \frac{\langle \mathbf{x}, A\mathbf{x} \rangle}{\langle \mathbf{x}, \mathbf{x} \rangle} \geq \frac{\langle \mathbf{1}, A\mathbf{1} \rangle}{\langle \mathbf{1}, \mathbf{1} \rangle} = \frac{2e_G}{n} = \frac{\sum_{v \in V(G)} \deg(v)}{n}.$$

Adicionalmente, con apoyo de la igualdad (8) y usando la cota anterior, se concluye que $\lambda_1 = d$ cada vez que G es un grafo d -regular. \square

2.3. Grafos aleatorios

El objetivo de la presente sección es proporcionar un breve contexto teórico para abordar más adelante la noción y propiedades de los grafos *cuasi-aleatorios*.

Intuitivamente, se podría pensar en un *grafo aleatorio* de n vértices como el resultado de seleccionar aleatoriamente un subconjunto de aristas de K_n . En 1959, Erdős-Rényi y Edgar Gilbert* [referencia *](#) proponen dicha selección de la siguiente manera: comenzando con un grafo sin aristas $G = ([n], \emptyset)$, decidir sobre cada par de vértices de G si agregar una arista con una probabilidad p establecida. En cada repetición del proceso anterior se genera un nuevo grafo de n vértices, que contribuye a la creación del espacio de probabilidad conocido como $G(n, p)$, y se denomina modelo binomial. Entonces, considerando \mathcal{G}^n como el conjunto de todos los grafos de n vértices, se define formalmente.

Definición 11. (*Modelo binomial*) Sea $p \in (0, 1)$. Se define $G(n, p)$ como el espacio de probabilidad $(\mathcal{G}^n, \mathcal{P}(\mathcal{G}^n), \mathbb{P})$, con

$$\mathbb{P}(\{G\}) = p^{e_G} (1-p)^{\binom{n}{2} - e_G}, \quad \forall G \sim G(n, p).$$

Diremos que $\mathcal{P}_n \subset \mathcal{G}^n$ es una propiedad de grafos si es cerrada bajo isomorfismos de grafos. Más aún, G satisface la propiedad \mathcal{P}_n **con alta probabilidad** si $\mathbb{P}(\mathcal{P}_n) \rightarrow 1$ cuando $n \rightarrow \infty$. Dicho esto, se probará que $G(n, p)$ posee una distribución de aristas en el siguiente sentido:

223 **Proposición 12.** Sea $\varepsilon > 0$ y $p \in (0, 1)$. Si $G \sim G(n, p)$, entonces satisface con alta probabilidad
 224 la siguiente propiedad:

$$\mathcal{P}_n^{p, \varepsilon} := \{G \in \mathcal{G}^n : |e(A, B) - p|A||B|| \leq \varepsilon n^2, \forall A, B \subset V(G)\}.$$

225 Para dar prueba a la proposición anterior es necesario utilizar la desigualdad de Chernov. Exis-
 226 tiendo diversas formas de expresar tal desigualdad, en esta tesis se utiliza el resultado para el caso
 227 en que cada variable aleatoria solo toma los valores 0 o 1, como se plantea en * referencia * en la
 228 ecuación (2.12) de la observación 2.5.

229 **Teorema 13.** (Desigualdad de Chernov) Sean X_1, \dots, X_N variables aleatorias independientes tales
 230 que $X_i = 1$ con probabilidad p , y $X_i = 0$ con probabilidad $1 - p$. Entonces, si $X = \sum_{i=1}^N X_i$, se
 231 satisface

$$\mathbb{P}(|X - \mathbb{E}[X]| > t) \leq 2 \exp\left(-\frac{2t^2}{N}\right), \quad \forall t \geq 0.$$

232 Con esto, damos paso a la demostración prometida.

233 *Demostración Proposición 12.* Dado $p \in (0, 1)$ y $\varepsilon > 0$, considere $G \sim G(n, p)$ y $A, B \subset V(G)$.
 234 Defina la variable aleatoria $X = e(A, B) = \sum_{a \in A} \sum_{b \in B} X_{ab}$, en donde

$$X_{ab} = \begin{cases} 1 & \text{si } ab \in E(G), \\ 0 & \text{en otro caso.} \end{cases}$$

235 Para utilizar la cota de Chernov más adelante, se separa la variable aleatoria X en sumas de
 236 variables aleatorias independientes. Vale decir $X = X_1 + X_2$, en donde

$$X_1 = 2 \sum_{ab \in \binom{A \cap B}{2}} X_{ab}, \quad \text{y} \quad X_2 = \sum_{\substack{a \in A, b \in B \\ a \neq b \\ ab \notin \binom{A \cap B}{2}}} X_{ab}.$$

237 Al calcular la esperanza de X_1 y X_2 se obtiene el siguiente resultado:

$$\mathbb{E}[X_1] = \mu_1 = 2p \binom{|A \cap B|}{2}, \quad \text{y} \quad \mathbb{E}[X_2] = \mu_2 = p \left(|A||B| - |A \cap B| - 2 \binom{|A \cap B|}{2} \right).$$

238 Notando ahora que $|A||B| \leq n^2$, se utiliza la desigualdad de Chernov con $t = \frac{\varepsilon}{3} n^2$ sobre $i \in \{1, 2\}$
 239 para obtener lo siguiente:

$$\begin{aligned} \mathcal{P} \left(|X_i - \mu_i| > \frac{\varepsilon}{3} n^2 \right) &\leq 2 \exp \left(-\frac{2 \left(\frac{\varepsilon}{3} n^2 \right)^2}{|A||B|} \right) \\ &\leq 2 \exp \left(-\frac{2}{9} \varepsilon^2 n^2 \right). \end{aligned} \tag{12}$$

240 Luego, si ocurre simultáneamente que $|X_1 - \mu_1| \leq \frac{\varepsilon}{3} n^2$ y $|X_2 - \mu_2| \leq \frac{\varepsilon}{3} n^2$, entonces

$$\left| X_1 + X_2 - (\mu_1 + \mu_2) \right| \leq \frac{2}{3} \varepsilon n^2, \quad \forall A, B \in V(G).$$

Y así, como $\mu_1 + \mu_2 = p(|A||B| - |A \cap B|) = p|A||B| \pm \varepsilon n$, se tendrá que todo $A, B \subset V(G)$ satisface $|X - p|A||B|| \leq \varepsilon n^2$.

Por lo anterior, se concluye utilizando la cota de la unión de la siguiente manera:

$$\begin{aligned}
1 - \mathbb{P}(\mathcal{P}_n^{p,\varepsilon}) &= \mathbb{P}\left(\exists A, B \subset V(G) : |X - p|A||B|| > \varepsilon n^2\right) \\
&\leq \mathbb{P}\left(\exists A, B \subset V(G) : |X_1 - \mu_1| > \frac{\varepsilon}{3}n^2 \vee |X_2 - \mu_2| > \varepsilon n^2\right) \\
&\leq \mathbb{P}\left(\exists A, B \subset V(G) : |X_1 - \mu_1| > \frac{\varepsilon}{3}n^2\right) + \mathbb{P}\left(|X_2 - \mu_2| > \frac{\varepsilon}{3}n^2\right) \\
&\leq \sum_{\substack{A \subset V(G) \\ B \subset V(G)}} \mathbb{P}\left(|X_1 - \mu_1| > \frac{\varepsilon}{3}n^2\right) + \sum_{\substack{A \subset V(G) \\ B \subset V(G)}} \mathbb{P}\left(|X_2 - \mu_2| > \frac{\varepsilon}{3}n^2\right) \\
&\stackrel{(12)}{\leq} 2^{2n+1} \exp\left(-\frac{2}{9}\varepsilon^2 n^2\right) \xrightarrow{n \rightarrow \infty} 0.
\end{aligned}$$

□

3. Cuasi-aleatoriedad

Trabajar con estructuras discretas aleatorias brinda una amplia gama de propiedades ideales y deseables, lo que las convierte en piezas fundamentales tanto en matemáticas como en ciencias de la computación. Por ejemplo, el modelo de grafo aleatorio binomial goza de una distribución uniforme de aristas, buenas propiedades y es robusto. La cuestión ahora es cómo capturar las propiedades esenciales de la aleatoriedad dentro de un marco *determinista*. Esta idea condujo a la noción de cuasi-aleatoriedad, que en la actualidad, es un tópico central en las matemáticas discretas. En términos generales, las propiedades cuasi-aleatorias son características deterministas que son propias de objetos realmente aleatorios. Aunque la noción de cuasi-aleatoriedad es interesante por sí misma, su estudio ha revelado profundas conexiones entre varias ramas de la matemática y ciencias de la computación, encontrando aplicaciones en teoría de grafos, teoría de números, teoría ergódica, geometría, y algoritmos y complejidad.

Como se verá a detalle más adelante en la sección 4, una de las razones principales por las cuales el estudio de la cuasi-aleatoriedad no se limita a un área específica, es el hecho de que existe un teorema de partición que permite la aproximación de cualquier objeto discreto por otros cuasi-aleatorios. Con esto, nos referimos al célebre lema de regularidad de Szemerédi, que establece que todo grafo se puede aproximar mediante un número finito de grafos cuasi-aleatorios, permitiendo la conexión entre un grafo arbitrario y los cuasi-aleatorios.

El estudio sistemático de los grafos cuasi-aleatorios fue iniciado por Rödl *referencia* y Thomason *referencia*, y su punto inicial es la siguiente noción de *distribución uniforme de aristas* para definir la cuasi-aleatoriedad de un grafo. *Buscar año...*

Definición 14. Sea $p \in (0, 1)$ y $(G_n)_{n \rightarrow \infty}$ una secuencia de grafos, en donde cada G_n posee n vértices. Entonces el grafo G_n es **cuasi-aleatorio** si en todo par de subconjuntos $X, Y \subset V(G_n)$ se encuentra una distribución de aristas similar, es decir,

$$e(X, Y) = p|X||Y| + o(n^2). \quad (13)$$

En otras palabras, la distribución uniforme de aristas establece que, hasta el término de error $o(n^2)$, cualquier par de subconjuntos de vértices poseen tantas aristas como se esperaría de un grafo aleatorio $G(n, p)$. Es importante destacar que esta propiedad no solo se cumple con alta probabilidad en un grafo aleatorio $G(n, p)$, sino que también se considera como una de sus características distintivas.

3.1. Teorema de Chung, Graham y Wilson

Una contribución revolucionaria en la teoría de grafos cuasi-aleatorios fue en 1989 por Fan Chung, Ronald Graham y Richard M. Wilson * [referencia](#) *. Ellos presentaron una extensa lista de propiedades superficialmente diferentes entre sí, y demostraron que todas son equivalentes al concepto de cuasi-aleatoriedad entendido en la Definición 3.

En la presente sección se enuncia el teorema de Chung, Graham y Wilson junto a una demostración formal.

Teorema 15. (*Chung, Graham y Wilson*) Sea $p \in (0, 1)$ fijo. Para cualquier secuencia de grafos $(G_n)_{n \rightarrow \infty}$ con $|V(G_n)| = n$ vértices y $e_{G_n} = (p + o(1)) \binom{n}{2}$ aristas, las siguientes propiedades son equivalentes:

DISC_p : Para todo $X, Y \subseteq V(G_n)$,

$$\left| e(X, Y) - p|X||Y| \right| = o(n^2).$$

DISC'_p : Para todo $X \subseteq V(G_n)$,

$$\left| e(X) - p \binom{|X|}{2} \right| = o(n^2).$$

COUNT_p : Para cada grafo H , la cantidad de copias etiquetadas de H en G_n está dada por

$$\left| \binom{G_n}{H} \right| = \left(p^{e(H)} + o(1) \right) n^{v(H)}.$$

$\text{COUNT}_{C_4, p}$: La cantidad de copias etiquetadas de ciclos de largo 4 es

$$\left| \binom{G_n}{C_4} \right| = (p^4 + o(1))n^4.$$

CODEG_p :

$$\sum_{u, v \in V(G_n)} \left| \text{codeg}(u, v) - p^2 n \right| = o(n^3).$$

EIG_p : Si $\lambda_1 \geq \dots \geq \lambda_n$ son los valores propios de la matriz de adyacencia de G_n , entonces

$$\lambda_1 = pn + o(n) \quad , \quad \max_{i \neq 1} |\lambda_i| = o(n).$$

Para una comprensión e intuición inicial de cada propiedad del Teorema 15, se ha utilizado notación asintótica en su enunciado. Sin embargo, con dicha formulación no queda del todo claro las dependencias cuantificadas de los errores en las implicancias cada par de propiedades. Entonces, se replantean equivalentemente las propiedades con una versión cuantitativa, asociando algún parámetro de error ε en todo grafo específico G con un conjunto de vértices suficientemente grande. Por ejemplo, bajo los supuestos del Teorema 15, asuma que la sucesión de grafos $(G_n)_{n \rightarrow \infty}$ satisface DISC_p , y luego, la versión equivalente establece que para todo $\varepsilon > 0$, existe $n_0 \in \mathbb{N}$ tal que el grafo G sobre $n \geq n_0$ vértices satisface

$$\text{DISC}_p(\varepsilon) : e(X, Y) = p|X||Y| \pm \varepsilon n^2, \quad \forall X, Y \subseteq V(G).$$

De manera general, diremos que una secuencia de grafos $(G_n)_{n \rightarrow \infty}$ con $|V(G_n)| = n$ satisface la propiedad P_{x_1, \dots, x_k} ¹ si para cada elección de $\varepsilon > 0$, existe algún $n_0 \in \mathbb{N}$ tal que el grafo G con $n \geq n_0$ vértices satisface $P_{x_1, \dots, x_k}(\varepsilon)$. Más aún, se dirá que la propiedad Q_{y_1, \dots, y_ℓ} implica la propiedad P_{x_1, \dots, x_k} si y solamente si $P_{x_1, \dots, x_k}(\varepsilon)$ implica $Q_{y_1, \dots, y_\ell}(\delta)$. Es decir, para todo $\varepsilon > 0$, existe $\delta > 0$ y $n_0 \in \mathbb{N}$ tales que el grafo G con $n \geq n_0$ vértices cumple con $Q_{y_1, \dots, y_\ell}(\delta)$ cada vez que satisfaga la propiedad $P_{x_1, \dots, x_k}(\varepsilon)$. Se desarrollará la demostración formal del Teorema 15 utilizando notación ε - δ , mostrando que cada par de propiedades P_{x_1, \dots, x_k} y Q_{y_1, \dots, y_ℓ} son equivalentes entre sí con un cambio polinomial en el error, esto es, $P_{x_1, \dots, x_k}(\varepsilon) \Rightarrow Q_{y_1, \dots, y_\ell}(C\varepsilon^c)$ para algún par de constantes $C, c > 0$.

Demostración Teorema de Chung, Graham y Wilson

La demostración del Teorema fue descompuesta en ocho proposiciones, las cuales mostrarán la equivalencia entre todas las propiedades conforme al siguiente esquema:

$$\begin{array}{ccccc} \text{DISC}'_p & \xRightarrow{\text{Prop. 18.}} & \text{COUNT}_p & \xRightarrow{\text{Prop. 19.}} & \text{COUNT}_{C4,p} & \xLeftrightarrow{\text{Prop. 22. y 23.}} & \text{EIG}_p \\ \updownarrow \text{Prop. 16 y 17.} & & & & \downarrow \text{Prop. 20.} & & \\ \text{DISC}_p & & \xLeftrightarrow{\text{Prop. 21.}} & & \text{CODEG}_p. & & \end{array} \quad (14)$$

Con esto en mente, damos paso a la demostración de cada proposición considerada en el esquema (14).

Proposición 16. Para todo $\varepsilon > 0$ y $p \in (0, 1)$, existe $\delta > 0$ y $n_0 \in \mathbb{N}$ tales que el grafo G sobre $n \geq n_0$ vértices satisface $\text{DISC}'_p(\varepsilon)$ cada vez que cumpla con $\text{DISC}_p(\delta)$. En particular,

$$\text{DISC}_p \Rightarrow \text{DISC}'_p.$$

Demostración. Dado $\varepsilon > 0$ y $p \in (0, 1)$, se elige $\delta < \frac{\varepsilon}{2}$ y $n_0 \in \mathbb{N}$ suficientemente grande. Entonces, considerando el grafo G con $n \geq n_0$ vértices que satisface $\text{DISC}_p(\delta)$ y $X \subset V(G)$, se utiliza la propiedad $\text{DISC}_p(\delta)$ para obtener el resultado de la siguiente manera:

$$e(X) = p \frac{|X|^2}{2} \pm \delta n^2 = p \binom{|X|}{2} \pm 2\delta n^2.$$

¹Los parámetros x_1, \dots, x_k pueden ser de distinta naturaleza, dependiendo de la propiedad simbolizada. En las propiedades del Teorema 15 se utiliza $k = 1$ con $x_1 = p$ salvo en la propiedad $\text{COUNT}_{C4,p}$, en donde $k = 2$.

317 Las igualdades anteriores consideran $e(X, X) = 2e(X)$, por definición, y la aproximación $\binom{|X|}{2} =$
 318 $\frac{|X|^2}{2} \pm \delta n^2$. \square

319 **Proposición 17.** Para todo $\varepsilon > 0$ y $p \in (0, 1)$, existe $\delta > 0$ y $n_0 \in \mathbb{N}$ tales que el grafo G sobre
 320 $n \geq n_0$ vértices satisface $\text{DISC}_p(\varepsilon)$ cada vez que cumpla con $\text{DISC}'_p(\delta)$. En particular,

$$\text{DISC}'_p \Rightarrow \text{DISC}_p.$$

321 *Demostración.* Dado $\varepsilon > 0$ y $p \in (0, 1)$, se elige $\delta < \frac{\varepsilon}{4}$ y $n_0 \in \mathbb{N}$ suficientemente grande. Considere
 322 también el grafo G sobre $n \geq n_0$ vértices que satisface $\text{DISC}'_p(\delta)$.

323 En primera instancia, se lleva el conteo de aristas que existen entre pares de subconjuntos de
 324 vértices a un conteo equivalente mediante la combinación aditiva de las aristas que se encuentran
 325 en un subconjunto único de vértices. Es decir, para $X, Y \subset V(G)$,

$$e(X, Y) = e(X \cup Y) + e(X \cap Y) - e(X \setminus Y) - e(Y \setminus X). \quad (15)$$

326 Observe que con esta configuración, el conteo de las aristas entre X e Y es doble cuando los
 327 vértices que componen las aristas pertenecen a $X \cap Y$. Luego, se utiliza la propiedad $\text{DISC}'_p(\delta)$
 328 sobre la identidad (15) para conseguir el resultado.

$$\begin{aligned} e(X, Y) &= p \left(\binom{|X \cup Y|}{2} + \binom{|X \cap Y|}{2} - \binom{|X \setminus Y|}{2} - \binom{|Y \setminus X|}{2} \right) \pm 4\delta n^2 \\ &= p|X||Y| \pm 4\delta n^2 \\ &= p|X||Y| \pm \varepsilon n^2. \end{aligned}$$

329 \square

330 **Proposición 18.** Para todo $\varepsilon > 0$ y $p \in (0, 1)$, existe $\delta > 0$ y $n_0 \in \mathbb{N}$ tales que el grafo G sobre
 331 $n \geq n_0$ vértices satisface $\text{COUNT}_p(\varepsilon)$ cada vez que cumpla con $\text{DISC}'_p(\delta)$. En otras palabras,

$$\text{DISC}'_p \Rightarrow \text{COUNT}_p.$$

332 *Demostración.* Sea $\varepsilon > 0$, $p \in (0, 1)$ y H un grafo sobre ℓ vértices, elegimos $\delta < \frac{\varepsilon}{6\ell^2}$ y $n_0 \in \mathbb{N}$
 333 suficientemente grande. Considere también el grafo $G = (V, E)$ con $n \geq n_0$ vértices que satisface la
 334 propiedad $\text{COUNT}_p(\varepsilon)$.

335 Dado cualquier grafo F con ℓ vértices y $e_F \geq 1$ aristas, razonamos por inducción sobre su
 336 cantidad de aristas para probar que

$$\left| \binom{G}{F} \right| = p^{e_F} n^\ell \pm 4e_F \delta n^\ell. \quad (16)$$

337 Una vez probada la ecuación (16), el resultado seguirá de tomar $F = H$ y la elección de δ para
 338 conseguir las siguientes desigualdades:

$$4e_F \delta n^\ell \leq 4\binom{\ell}{2} \delta n^\ell \leq 4\delta \left(\frac{\ell^2}{2} + \delta \ell^2 \right) n^\ell \leq 6\delta \ell^2 n^\ell < \varepsilon n^\ell.$$

339 Entonces, cuando $e_F = 1$, $\left| \binom{G}{F} \right|$ es el número de pares ordenados de vértices de G que forman
 340 una arista junto a cualquier combinación de $\ell - 2$ vértices para completar una copia de F . Es decir,

$$\left| \binom{G}{F} \right| = 2e_G(n-2)(n-3) \cdots (n-\ell+1).$$

341 Luego, si aplicamos la propiedad $\text{DISC}'_p(\delta)$ sobre V , se obtiene que la cantidad de aristas es

$$e_G = \frac{pn(n-1)}{2} \pm \delta n^2.$$

342 Así, con $\left| \binom{G}{F} \right| = pn^\ell \pm 4\delta n^\ell$, se prueba el caso inicial de la inducción. Ahora, sea F un grafo
 343 con $e_F > 1$ aristas y asuma que se satisface la ecuación (16) en cualquier grafo con una cantidad de
 344 aristas menor que e_F . Para desarrollar la inducción, suponga que $ij \in E(F)$ y considere la siguiente
 345 notación:

- 346 i) F^- corresponde es el grafo producido por eliminar la arista ij de F .
- 347 ii) F^* es el resultado de eliminar los vértices de la arista ij en F .

348 Sea T^- una copia etiquetada de F^- en G , es decir, T^- se corresponde una aplicación inyectiva
 349 $f : V(F^-) \rightarrow V(T^-) \subseteq V$ tal que $f(u)f(v) \in E(T^-)$ cada vez que $uv \in E(F^-)$. Entonces,
 350 considerando $e_{T^-} := f(i)f(j)$, se escribe la cantidad de copias etiquetadas de F en G de manera
 351 conveniente para utilizar la hipótesis inductiva como se muestra a continuación:

$$\begin{aligned} \left| \binom{G}{F} \right| &= \sum_{T^- \in \binom{G}{F^-}} \mathbb{1}_E(e_{T^-}) \\ &= \sum_{T^- \in \binom{G}{F^-}} [\mathbb{1}_E(e_{T^-}) + p - p] \\ &= \sum_{T^- \in \binom{G}{F^-}} p + \sum_{T^- \in \binom{G}{F^-}} [\mathbb{1}_E(e_{T^-}) - p] \\ &= p \left| \binom{G}{F^-} \right| + \sum_{T^- \in \binom{G}{F^-}} [\mathbb{1}_E(e_{T^-}) - p] \\ &\stackrel{(16)}{=} p^{e_F} n^\ell + \sum_{T^- \in \binom{G}{F^-}} [\mathbb{1}_E(e_{T^-}) - p] \pm 4(e_F - 1)\delta n^\ell. \end{aligned} \quad (17)$$

352 En este punto, es suficiente probar que el segundo sumando de la desigualdad (17) es pequeño.
 353 Para esto, considere T^* una copia de F^* , y denote por F_i^* y F_j^* a los grafos resultantes de eliminar
 354 de F^- los vértices j e i respectivamente. Con esto, defina los siguientes conjuntos:

$$\begin{aligned} A_i^{T^*} &:= \{v \in V : T^* \text{ con } v \text{ forma una copia de } F_i^*\} \\ A_j^{T^*} &:= \{v \in V : T^* \text{ con } v \text{ forma una copia de } F_j^*\}. \end{aligned}$$

356 Los conjuntos anteriores, por construcción, son tales que para cada tupla $(a, b) \in A_i^{T^*} \times A_j^{T^*}$
 357 añadida a T^* se obtiene una copia de F^- . Así, reescribiendo el segundo sumando de la igualdad
 358 (17) convenientemente y utilizando la propiedad $\text{DISC}'_p(\delta)$,

$$\begin{aligned}
\left| \sum_{T^- \in \binom{G}{F^-}} [\mathbb{1}_E(e_{T^-}) - p] \right| &= \left| \sum_{T^* \in \binom{G}{F^*}} \sum_{f \in A_i^{T^*} \times A_j^{T^*}} [\mathbb{1}_E(f) - p] \right| \\
&\leq \sum_{T^* \in \binom{G}{F^*}} \left| \sum_{f \in A_i^{T^*} \times A_j^{T^*}} [\mathbb{1}_E(f) - p] \right| \\
&= \sum_{T^* \in \binom{G}{F^*}} \left| e(A_i^{T^*}, A_j^{T^*}) - p|A_i^{T^*}| |A_j^{T^*}| \right| \\
&\leq \sum_{T^* \in \binom{G}{F^*}} \delta n^2 \\
&\leq 4\delta n^\ell.
\end{aligned}$$

De esta manera, tomando la elección de δ y $F = H$ se obtiene el resultado. \square

Proposición 19. Para todo $\varepsilon > 0$ y $p \in (0, 1)$, existe $\delta > 0$ y $n_0 \in \mathbb{N}$ tales que el grafo G sobre $n \geq n_0$ vértices satisface $\text{COUNT}_{C_4, p}(\varepsilon)$ cada vez que cumpla con $\text{COUNT}_p(\delta)$. En otras palabras,

$$\text{COUNT}_p \Rightarrow \text{COUNT}_{C_4, p}.$$

Demostración. Se trata de un caso particular de COUNT_p , en donde $H = C_4$ y $\delta < \varepsilon$. \square

Proposición 20. Para todo $\varepsilon > 0$ y $p \in (0, 1)$, existe $\delta > 0$ y $n_0 \in \mathbb{N}$ tales que el grafo G sobre $n \geq n_0$ vértices y $e_G = \frac{pn^2}{2} \pm \delta n^2$ aristas satisface $\text{CODEG}_p(\varepsilon)$ cada vez que cumpla con $\text{COUNT}_{C_4, p}(\delta)$. En particular,

$$\text{COUNT}_{C_4, p} \Rightarrow \text{CODEG}_p.$$

Demostración. Dado $\varepsilon > 0$ y $p \in (0, 1)$, elegimos $\delta < \frac{\varepsilon^2}{16}$ y $n_0 \in \mathbb{N}$ suficientemente grande. También considere el grafo G sobre $n \geq n_0$ vértices y $e_G = \frac{pn^2}{2} \pm \delta n^2$ aristas que satisface $\text{COUNT}_{C_4, p}(\delta)$.

La clave de esta demostración radica en encontrar una buena cota para $\sum_{u, v \in V(G)} \text{codeg}(u, v)$ y $\sum_{u, v \in V(G)} \text{codeg}(u, v)^2$. Para esto, será necesario la utilización apropiada de la desigualdad de Cauchy-Schwarz vista en (2). Por un lado, con la relación entre el grado y el cogrado (7) se obtiene la primera de las cotas:

$$\begin{aligned}
\sum_{u,v \in V(G)} \text{codeg}(u,v) &= \sum_{x \in V(G)} \deg(x)^2 \\
&\stackrel{\text{DCS}}{\geq} \frac{1}{n} \left(\sum_{x \in V(G)} \deg(x) \right)^2 \\
&= \frac{4e_G^2}{n} \\
&\geq \frac{4}{n} \left(\frac{pn^2}{2} - \delta n^2 \right)^2 \\
&\geq p^2 n^3 - 4\delta n^3.
\end{aligned}$$

372 Por otro lado, usando $\text{COUNT}_{C_4,p}(\delta)$,

$$\sum_{u,v \in V(G)} \text{codeg}(u,v)^2 = \left| \binom{G}{C_4} \right| \pm \delta n^4 \leq p^4 n^4 + 2\delta n^4.$$

373 Así, con las cotas anteriores, se obtiene el resultado de la siguiente manera:

$$\begin{aligned}
\sum_{u,v \in V(G)} \left| \text{codeg}(u,v) - p^2 n \right| &\stackrel{\text{DCS}}{\leq} n \left(\sum_{u,v \in V(G)} (\text{codeg}(u,v) - p^2 n)^2 \right)^{1/2} \\
&= n \left(\sum_{u,v \in V(G)} \text{codeg}(u,v)^2 - 2p^2 n \sum_{u,v \in V(G)} \text{codeg}(u,v) + \sum_{u,v \in V(G)} p^4 n^2 \right)^{1/2} \\
&\leq n (p^4 n^4 + 2\delta n^4 + 2p^2 n (4\delta n^3 - p^2 n^3) + p^4 n^4)^{1/2} \\
&= n ((2 + 8p^2)\delta n^4)^{1/2} \\
&\leq 4\delta^{1/2} n^3.
\end{aligned}$$

374

□

375 **Proposición 21.** Para todo $\varepsilon > 0$ y $p \in (0,1)$, existe $\delta > 0$ y $n_0 \in \mathbb{N}$ tales que el grafo G sobre
376 $n \geq n_0$ vértices y $e_G = \frac{pn^2}{2} \pm \delta n^2$ aristas satisface $\text{DISC}_p(\varepsilon)$ cada vez que cumpla con $\text{CODEG}_p(\delta)$.
377 En particular,

$$\text{CODEG}_p \Rightarrow \text{DISC}_p.$$

378 *Demostración.* Dado $\varepsilon > 0$, $p \in (0,1)$, seleccionamos $\delta < \frac{\varepsilon^4}{81}$ y $n_0 \in \mathbb{N}$ suficientemente grande. Sea
379 G un grafo de $n \geq n_0$ vértices y $e_G = \frac{pn^2}{2} \pm \delta n^2$ aristas que satisface la propiedad $\text{CODEG}_p(\delta)$.

380 En primera instancia note que la propiedad $\text{CODEG}_p(\delta)$ induce una concentración en los grados
381 de los vértices de G . En efecto,

$$\begin{aligned}
\sum_{x \in V(G)} \left| \deg(x) - pn \right| &\stackrel{\text{DCS}}{\leq} n^{1/2} \left(\sum_{x \in V(G)} (\deg(x) - pn)^2 \right)^{1/2} \\
&= n^{1/2} \left(\sum_{x \in V(G)} \deg(x)^2 - 2pn \sum_{x \in V(G)} \deg(x) + p^2 n^3 \right)^{1/2} \\
&\stackrel{(7)}{=} n^{1/2} \left(\left(\sum_{u,v \in V(G)} \text{codeg}(u,v) - p^2 n \right) - 4pne_G + 2p^2 n^3 \right)^{1/2} \\
&\leq n^{1/2} \left(\left(\sum_{u,v \in V(G)} \left| \text{codeg}(u,v) - p^2 n \right| \right) + 4pn \left(\delta n^2 - \frac{pn^2}{2} \right) + 2p^2 n^3 \right)^{1/2} \\
&\leq n^{1/2} (2p^2 n^3 - 2p^2 n^3 + 4p\delta n^3 + \delta n^3)^{1/2} \\
&< 3\delta^{1/2} n^2.
\end{aligned}$$

382 Luego, para todo $X, Y \in V(G)$, se reescribe la expresión de la propiedad DISC_p de forma
383 conveniente para posteriormente utilizar la desigualdad de Cauchy-Schwarz.

$$\left| e(X, Y) - p|X||Y| \right| = \left| \sum_{x \in X} (\deg(x; Y) - p|Y|) \right| \stackrel{\text{DCS}}{\leq} n^{1/2} \left(\sum_{x \in X} (\deg(x; Y) - p|Y|)^2 \right)^{1/2}. \quad (18)$$

384 En la desigualdad anterior se ha conseguido que el argumento de la suma sea siempre no negativo,
385 lo que permite extender su dominio de X a $V(G)$. De esta manera, usando a la cota proveniente de
386 la concentración de los grados en los vértices de G , se prueba el resultado continuando desde (18):

$$\begin{aligned}
|e(X, Y) - p|X||Y|| &\leq n^{1/2} \left(\sum_{x \in V(G)} (\deg(x; Y) - p|Y|)^2 \right)^{1/2} \\
&= n^{1/2} \left(\sum_{x \in V(G)} \deg(x; Y)^2 - 2p|Y| \sum_{x \in V(G)} \deg(x; Y) + \sum_{x \in V(G)} p^2|Y|^2 \right)^{1/2} \\
&= n^{1/2} (2p^2n|Y|^2 - p^2n|Y|^2 + 2p|Y||Y|pn - 2p|Y||Y|pn \\
&\quad + \sum_{y, y' \in Y} \text{codeg}(y, y') - 2p|Y| \sum_{y \in Y} \deg(y))^{1/2} \\
&= n^{1/2} \left(\sum_{y, y' \in Y} (\text{codeg}(y, y') - p^2n) - 2p|Y| \sum_{y \in Y} (\deg(y) - pn) \right)^{1/2} \\
&\leq n^{1/2} \left(\left| \sum_{y, y' \in Y} (\text{codeg}(y, y') - p^2n) \right| + \left| 2p|Y| \sum_{y \in Y} (\deg(y) - pn) \right| \right)^{1/2} \\
&\leq n^{1/2} \left(\sum_{u, v \in V(G)} |\text{codeg}(u, v) - p^2n| + 2p|Y| \sum_{x \in V(G)} |\deg(x) - pn| \right)^{1/2} \\
&\leq n^{1/2} (\delta n^3 + 6p\delta^{1/2}n^3)^{1/2} \\
&< 3\delta^{1/4}n^2.
\end{aligned}$$

387

□

388 **Proposición 22.** Para todo $\varepsilon > 0$ y $p \in (0, 1)$, existe $\delta > 0$ y $n_0 \in \mathbb{N}$ tales que el grafo G sobre
389 $n \geq n_0$ vértices y $e_G = \frac{pn^2}{2} \pm \delta n^2$ aristas satisface $\text{COUNT}_{C_4, p}(\varepsilon)$ cada vez que cumpla con $\text{EIG}_p(\delta)$.
390 En particular,

$$\text{EIG}_p \Rightarrow \text{COUNT}_{C_4, p}.$$

391 *Demostración.* Dado $\varepsilon > 0$ y $p \in (0, 1)$, se elige $\delta < \frac{\varepsilon}{20}$ y $n_0 \in \mathbb{N}$ suficientemente grande. Conside-
392 ramos el grafo G sobre $n \geq n_0$ vértices y $e_G = \frac{pn^2}{2} \pm \delta n^2$ aristas que satisface la propiedad $\text{EIG}_p(\delta)$,
393 $A \in \mathcal{M}_{n \times n}(\mathbb{R})$ como la matriz de adyacencia de G , y $\lambda_1 \geq \dots \geq \lambda_n$ los valores propios de A .

394 Recuerde que la cantidad de copias etiquetadas de caminatas cerradas de largo 4, que no son C_4 ,
395 en G se encuentran dentro de un error de a lo más δn^4 con respecto al número de copias etiquetadas
396 de C_4 en G . Con esto, junto al Lema 4 y el Corolario 8 se obtiene lo siguiente:

$$\left| \binom{G}{C_4} \right| = \text{Tr}(A^4) \pm \delta n^4 = \sum_{i=1}^n \lambda_i^4 \pm \delta n^4 = \lambda_1^4 + \sum_{i=2}^n \lambda_i^4 \pm \delta n^4. \quad (19)$$

397 Luego, recordando que $\text{Tr}(A^2) = 2e_G$, y usando $\text{EIG}_p(\delta)$,

$$\sum_{i=2}^n \lambda_i^4 \leq \max_{i \neq 1} \lambda_i^2 \sum_{i=1}^n \lambda_i^2 \leq \delta n^2 \text{Tr}(A^2) \leq \delta n^2 (pn^2 + 2\delta n^2) \leq 3\delta n^4. \quad (20)$$

Finalmente, se concluirá tras usar la propiedad $\text{EIG}_p(\delta)$ sobre el primer valor propio y la cota mostrada en (20). Entonces, continuando desde la ecuación (19),

$$\left| \binom{G}{C_4} \right| = \lambda_1^4 + \sum_{i=2}^n \lambda_i^4 \pm \delta n^4 \leq p^4 n^4 + 20\delta n^4.$$

□

Proposición 23. Para todo $\varepsilon > 0$ y $p \in (0, 1)$, existe $\delta > 0$ y $n_0 \in \mathbb{N}$ tales que el grafo G sobre $n \geq n_0$ vértices y $e_G = \frac{pn^2}{2} \pm \delta n^2$ aristas satisface $\text{EIG}_p(\varepsilon)$ cada vez que cumpla la propiedad $\text{COUNT}_{C_4, p}(\delta)$. Es decir,

$$\text{COUNT}_{C_4, p} \Rightarrow \text{EIG}_p.$$

Demostración. Sea $\varepsilon > 0$ y $p \in (0, 1)$, escogemos $\delta < \frac{\varepsilon^4}{4}$ y $n_0 \in \mathbb{N}$ suficientemente grande. Sea también G un grafo sobre $n \geq n_0$ vértices y $e_G = \frac{pn^2}{2} \pm \delta n^2$ aristas que satisface la propiedad $\text{COUNT}_{C_4, p}(\delta)$, $A \in \mathcal{M}_{n \times n}(\mathbb{R})$ la matriz de adyacencia de G , y $\lambda_1 \geq \dots \geq \lambda_n$ los valores propios de A .

En lo que respecta al primer valor propio, sabemos por un lado que éste es al menos el promedio de los grados gracias al Lema 10. Es decir,

$$\lambda_1 \geq \frac{\sum_{x \in V(G)} \deg(x)}{n} = \frac{2e_G}{n} = \frac{2}{n} \left(\frac{pn^2}{2} \pm \delta n^2 \right) \geq pn - 2\delta n. \quad (21)$$

Por otro lado, mediante el Lema 4, el Corolario 8 y la propiedad $\text{COUNT}_{C_4, p}(\delta)$,

$$\lambda_1^4 \leq \sum_{i=1}^n \lambda_i^4 = \text{Tr}(A^4) = \left| \binom{G}{C_4} \right| \pm \delta n^4 \leq p^4 n^4 + 2\delta n^4. \quad (22)$$

La desigualdad (22) implica que $\lambda_1 \leq pn + (2\delta)^{1/4}n$, y en combinación con la cota vista en (21), se obtiene que $\lambda_1 = pn \pm (2\delta)^{1/4}n$. Por último, observe por las cotas vistas anteriormente que

$$\begin{aligned} \max_{i \neq 1} |\lambda_i|^4 &\leq \sum_{i=2}^n \lambda_i^4 + \lambda_1^4 - \lambda_1^4 \\ &= \text{Tr}(A^4) - \lambda_1^4 \\ &\leq p^4 n^4 + 2\delta n^2 - p^4 n^4 + 2\delta n^4 \\ &= 4\delta n^4. \end{aligned}$$

De esta manera, se logra probar el resultado determinando que $\max_{i \neq 1} |\lambda_i| \leq (4\delta)^{1/4}n$. □

3.2. Aspectos adicionales del teorema de CGW

La noción inicial presentada de un grafo cuasi-aleatorio por distribución de aristas según la Definición 3 contempla verificar que si todo par de subconjuntos de vértices del grafo satisfacen la condición DISC_p para determinar la cuasi-aleatoriedad. En otras palabras, se requiere comprobar un número exponencial de subconjuntos. Por esto, resulta sorprendente que tal propiedad sea equivalente a todas las otras (salvo DISC'_p), debido a que se verifican de manera polinomial. Otro aspecto interesante es que la propiedad más débil $\text{COUNT}_{C_4,p}$, que solo requiere que la condición de conteo sea verdadera para el ciclo C_4 , sea suficientemente sólida para implicar la afirmación de conteo de la propiedad COUNT_p ; que dice que el número de copias etiquetadas de cualquier grafo F de tamaño fijo en $G = ([n], E)$ es aproximadamente el esperado de los grafos aleatorios $G(n, p)$.

A continuación mostraremos que no es suficiente que la condición de conteo sea verdadera para ciclos de largo inferior a 4 para determinar la cuasi-aleatoriedad de un grafo. Para ver esto, en primer lugar se la construcción de un contraejemplo de un grafo que posee la cantidad de copias etiquetadas esperadas de C_3 , pero que no cumple con las condiciones para ser cuasi-aleatorio.

Proposición 24. *Existe un grafo $G = ([n], E)$ con $\left(\frac{1}{3}\right)^3 n^3 + o(n^3)$ copias etiquetadas de C_3 , pero que no es cuasi-aleatorio.*

Demostración. La idea de la construcción consiste en la combinación de dos grafos, uno con una cantidad mayor que la esperada en un grafo aleatorio $G(n, p)$ de copias etiquetadas de C_3 , y otro con una cantidad menor. Consideramos entonces independientemente los grafos completos K_{n_1} y K_{n_2, n_2} tales que su unión disjunta forma el grafo $G = K_{n_1} \cup K_{n_2, n_2}$ con $n_1 + 2n_2 = n$ vértices.

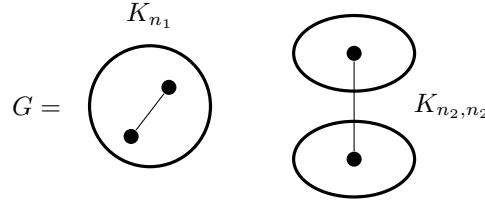


Figura 7: Esquema de la configuración del grafo usado como contraejemplo. Aquí, $\bullet\text{---}\bullet$ representa las aristas permitidas dentro del grafo G .

En K_{n_1} y K_{n_2, n_2} , observe que la cantidad de sus aristas y copias etiquetadas de C_3 son las siguientes:

$$\begin{aligned} e_{K_{n_1}} &\approx \frac{n_1^2}{2} & , & \quad \left| \binom{K_{n_1}}{C_3} \right| \approx n_1^3 \quad , \\ e_{K_{n_2, n_2}} &\approx \frac{(n - n_1)^2}{4} & , & \quad \left| \binom{K_{n_2, n_2}}{C_3} \right| = 0. \end{aligned}$$

Bajo esta configuración, se encontrará el parámetro $p \in (0, 1)$ de manera tal que el grafo G posea la cantidad esperada de aristas y copias etiquetadas de C_3 según lo haría un grafo aleatorio $G(n, p)$. Para ello, se plantea el siguiente sistema de ecuaciones:

$$\begin{cases} p \frac{n^2}{2} = \frac{n_1^2}{2} + \frac{(n - n_1)^2}{4}, \\ p^3 n^3 = n_1^3. \end{cases}$$

439 Resolviendo el sistema anterior, se obtiene que $p = \frac{1}{3}$ y $n_1 = n_2 = \frac{n}{3}$. Esta construcción, en
 440 efecto, presenta

$$e_G = \binom{\frac{n}{3}}{2} + \frac{n^2}{9} = \frac{1}{3} \binom{n}{2} + o(n^2),$$

441 Como también,

$$\left| \binom{G}{C_3} \right| = \left(\frac{n}{3} \right)^3 + o(n^3) = \left(\frac{1}{3} \right)^3 n^3 + o(n^3).$$

442 Sin embargo, el grafo G no es cuasi-aleatorio debido a que no existen aristas entre K_{n_1} y K_{n_2, n_2}
 443 ni dentro de los conjuntos de vértices que conforman a K_{n_2, n_2} . \square

444 Lo expuesto se enfoca en el caso muy particular en el que $p = \frac{1}{3}$, pero es importante destacar la
 445 técnica utilizada. En específico, la interpolación de dos grafos arbitrarios con una cantidad esperada
 446 menor y mayor de copias etiquetadas de C_3 según $G(n, p)$ produce un nuevo contraejemplo.

447 De manera más general, es posible extender la propiedad $\text{COUNT}_{C_4, p}$ a $\text{COUNT}_{C_{2t}, p}$ con $t \geq 2$.
 448 Es decir,

$$\text{COUNT}_{C_{2t}, p} : \left| \binom{G_n}{C_{2t}} \right| = (p^{2t} + o(1)) n^{2t}, \quad \forall t \geq 2.$$

449 Se expone un bosquejo de la demostración.

450 **Proposición 25.** Sea $p \in (0, 1)$ y $(G_n)_{n \rightarrow \infty}$ una secuencia de grafos con $|V(G_n)| = n$ vértices y
 451 $e_{G_n} = (p + o(1)) \binom{n}{2}$ aristas, entonces las propiedades $\text{COUNT}_{C_{2t}, p}$ y EIG_p son equivalentes.

452 *Demostración.* Este resultado es una consecuencia directa de las demostraciones de la Proposición
 453 22 y 23 tras el siguiente par de observaciones. En primer lugar, la cantidad de copias etiquetadas
 454 caminatas cerradas de largo $2t$ que no son C_{2t} en G_n están dentro de un error $O(n^{2t-1})$, es decir,

$$\text{Tr}(A^{2t}) = \sum_{i=1}^n \lambda_i^{2t} = \left| \binom{G_n}{C_{2t}} \right| + O(n^{2t-1}).$$

455 También, se debe modificar la cota presentada en la ecuación (20) como sigue:

$$\sum_{i=2}^n \lambda_i^{2t} \leq \max_{i \neq 1} \lambda_i^{2(t-1)} \sum_{i=1}^n \lambda_i^2 = \max_{i \neq 1} \lambda_i^{2t-2} \text{Tr}(A^2).$$

456 Con estas observaciones el resultado queda demostrado. \square

457 Es importante destacar que la demostración anterior es funcional gracias a que los ciclos de
 458 largo par preservan una contribución positiva en la suma de cada uno de los valores propios de G ,
 459 eliminando la posibilidad de cancelaciones entre ellos.

460 Finalmente, se explora un caso siempre interesante de estudio, ya que simplifica varios cálculos
 461 y surge de manera recurrente en la vida cotidiana: un grafo d -regular. En nuestro contexto, se verá
 462 que toda secuencia $(G_n)_{n \rightarrow \infty}$ de grafos d -regular satisface la propiedad $\text{DISC}_{\frac{d}{n}}$ si y solo si cumple
 463 con $\text{EIG}_{\frac{d}{n}}$. Dicha equivalencia nace como una consecuencia del siguiente teorema.

464 **Teorema 26.** (*Expander Mixing Lemma*) Sea $G = ([n], E)$ un grafo d -regular, y $d = \lambda_1 \geq \lambda_2 \geq$
 465 $\dots \geq \lambda_n$ los valores propios asociados a la matriz de adyacencia A de G . Si se denota:

$$\lambda = \max_{i \neq 1} |\lambda_i|.$$

466 Entonces, para cada $X, Y \subset [n]$,

$$\left| e(X, Y) - \frac{d}{n} |X| |Y| \right| \leq \lambda \sqrt{|X| |Y| \left(1 - \frac{|X|}{n}\right) \left(1 - \frac{|Y|}{n}\right)}. \quad (23)$$

467 *Demostración.* Sea $\mathcal{B} = \{\mathbf{v}_1, \dots, \mathbf{v}_n\}$ la base ortonormal de \mathbb{R}^n compuesta por los vectores propios
 468 de A . Utilizando la descomposición espectral, se denotamos

$$A_1 = \lambda_1 \mathbf{v}_1 \mathbf{v}_1^T \text{ y } \Delta = \sum_{i=2}^n \lambda_i \mathbf{v}_i \mathbf{v}_i^T,$$

469 de manera que $A = A_1 + \Delta$.

470 Conforme a la ecuación (9), para todo $X, Y \subset [n]$, se cumple la siguiente igualdad:

$$e(X, Y) = \mathbf{v}_X^T A \mathbf{v}_Y = \mathbf{v}_X^T A_1 \mathbf{v}_Y + \mathbf{v}_X^T \Delta \mathbf{v}_Y. \quad (24)$$

471 De la ecuación anterior se espera que el primer sumando sea el término principal, mientras que
 472 el segundo el factor de error. Para ver esto, se representan los vectores \mathbf{v}_X y \mathbf{v}_Y según la base \mathcal{B} .
 473 Es decir,

$$\mathbf{v}_X = \sum_{i=1}^n \alpha_i \mathbf{v}_i \text{ y } \mathbf{v}_Y = \sum_{i=1}^n \beta_i \mathbf{v}_i,$$

474 donde $\alpha_i = \mathbf{v}_X^T \mathbf{v}_i$ y $\beta_i = \mathbf{v}_Y^T \mathbf{v}_i$. Con esto, se calcula:

$$\begin{aligned} \|\alpha_i\|^2 &= \sum_{i=1}^n \alpha_i^2 \\ &= \sum_{i=1}^n \langle \mathbf{v}_X, \mathbf{v}_i \rangle^2 \\ &= \sum_{i=1}^n \left\langle \sum_{j \in X} \mathbf{e}_j, \mathbf{v}_i \right\rangle^2 \\ &= \sum_{i=1}^n \sum_{j=1}^n \langle \mathbf{e}_j, \mathbf{v}_i \rangle^2 \mathbb{1}_X(i) \\ &= \sum_{i=1}^n \|\mathbf{v}_i\|^2 \mathbb{1}_X(i) \\ &= |X|. \end{aligned}$$

475 Análogamente, $\|\beta_i\|^2 = \sum_{i=1}^n \beta_i^2 = |Y|$.

476 Ahora, se estudian los sumandos de la igualdad (24) por separado. Por un lado,

$$\begin{aligned}
\mathbf{v}_X^T A_1 \mathbf{v}_Y &= \left(\sum_{i=1}^n \alpha_i \mathbf{v}_i \right)^T (\lambda_1 \mathbf{v}_1 \mathbf{v}_1^T) \left(\sum_{j=1}^n \beta_j \mathbf{v}_j \right) \\
&= \lambda_1 \left(\sum_{i=1}^n \alpha_i \mathbf{v}_i^T \right) (\mathbf{v}_1 \mathbf{v}_1^T) \left(\sum_{j=1}^n \beta_j \mathbf{v}_j \right) \\
&= \lambda_1 \sum_{i=1}^n \sum_{j=1}^n \alpha_i \beta_j (\mathbf{v}_i^T \mathbf{v}_1) (\mathbf{v}_1^T \mathbf{v}_j) \\
&= \lambda_1 \alpha_1 \beta_1.
\end{aligned} \tag{25}$$

477 Por otro lado, de la misma manera que el cálculo anterior,

$$\mathbf{v}_X^T \Delta \mathbf{v}_Y = \left(\sum_{i=1}^n \alpha_i \mathbf{v}_i \right)^T \left(\sum_{j=2}^n \lambda_j \mathbf{v}_j \mathbf{v}_j^T \right) \left(\sum_{k=1}^n \beta_k \mathbf{v}_k \right) = \sum_{i=1}^n \lambda_i \alpha_i \beta_i. \tag{26}$$

478 Luego, dado que G es un grafo d -regular, $\lambda_1 = d$ y $\mathbf{v}_1 = \frac{1}{\sqrt{n}}(1, \dots, 1)^T$ son valor y vector propio
479 respectivamente de A . En consecuencia,

$$\alpha_1 = \frac{|X|}{\sqrt{n}} \quad \text{y} \quad \beta_1 = \frac{|Y|}{\sqrt{n}}.$$

480

481 Así, la ecuación (25) resulta en $\mathbf{v}_X^T A_1 \mathbf{v}_Y = \frac{d}{n} |X| |Y|$.

482 Para el término de error, recordando la definición de λ , se desarrolla el valor absoluto de la
483 ecuación (26) usando la desigualdad de Cauchy-Schwarz.

$$\begin{aligned}
|\mathbf{v}_X^T \Delta \mathbf{v}_Y| &= \left| \sum_{i=2}^n \lambda_i \alpha_i \beta_i \right| \\
&\leq \lambda \left| \sum_{i=2}^n \alpha_i \beta_i \right| \\
&\stackrel{\text{DCS}}{\leq} \lambda \sqrt{\sum_{i=2}^n \alpha_i^2 \sum_{i=2}^n \beta_i^2} \\
&= \lambda \sqrt{(\|\alpha_i\|^2 - \alpha_1^2)(\|\beta_i\|^2 - \beta_1^2)} \\
&= \lambda \sqrt{|X| |Y| \left(1 - \frac{|X|}{n}\right) \left(1 - \frac{|Y|}{n}\right)}.
\end{aligned}$$

484 Finalmente, el resultado se obtiene directamente de tomar el valor absoluto de la ecuación (24)
485 de la siguiente manera:

$$|e(X, Y) - \mathbf{v}_X^T A_1 \mathbf{v}_Y| = |\mathbf{v}_X^T \Delta \mathbf{v}_Y|.$$

□

El teorema anterior permite asegurar que todo grafo d -regular $G = ([n], E)$ con un conjunto de vértices suficientemente grande que satisface la propiedad $\text{EIG}_{\frac{d}{n}}(\delta)$, también cumple con $\text{DISC}_{\frac{d}{n}}(\varepsilon)$. En efecto, para todo $\varepsilon > 0$ y $X, Y \subset [n]$, elija $n_0 \in \mathbb{N}$ suficientemente grande y $\delta < \frac{\varepsilon n}{\sqrt{|X||Y|}}$. Entonces, si G satisface la propiedad $\text{EIG}_{\frac{d}{n}}(\delta)$, por el Teorema 26:

$$\begin{aligned} \left| e(X, Y) - \frac{d}{n}|X||Y| \right| &\leq \lambda \sqrt{|X||Y| \left(1 - \frac{|X|}{n}\right) \left(1 - \frac{|Y|}{n}\right)} \\ &< \delta n \sqrt{|X||Y|} \\ &< \varepsilon n^2. \end{aligned}$$

Finalmente, en un grafo d -regular, la equivalencia entre las propiedades $\text{EIG}_{\frac{d}{n}}$ y $\text{DISC}_{\frac{d}{n}}$ se completa por el camino de implicancias ya demostradas según el esquema (14).

4. Lema de regularidad de Szemerédi

* Aquí debo ingresar una breve descripción del lema de regularidad de Szemerédi y la fuerza que toma al combinarlo con el teorema de Chung-Graham-Wilson y comentar la aplicación que se mostrará. (Quizás también hablar de las dos demostraciones de este lema, usual y espectral.) *

4.1. Enunciado y demostración

Se tratará el concepto de regularidad de una manera un poco diferente a como es tradicionalmente conocida. En particular, se permite intersección entre pares de subconjuntos de vértices de un grafo en las futuras definiciones.

Definición 27. Sea G un grafo y $X, Y \subset V(G)$ subconjuntos no necesariamente disjuntos. Diremos que (X, Y) es un **par ε -regular** en G si para todo $A \subset X$ y $B \subset Y$ con $|A| \geq \varepsilon|X|$ y $|B| \geq \varepsilon|Y|$, se cumple

$$|d(A, B) - d(X, Y)| \leq \varepsilon$$

504

Cuando (X, Y) no es un par ε -regular, entonces la irregularidad es evidenciada por algún $A \subseteq X$ y $B \subseteq Y$ que satisfacen $|A| \geq \varepsilon|X|$ y $|B| \geq \varepsilon|Y|$, pero $|d(A, B) - d(X, Y)| > \varepsilon$.

Notaremos que la noción de un par ε -regular es, de hecho, una analogía de la propiedad $\text{DISC}_p(\varepsilon)$ para grafos bipartitos. Es decir, si G es tal que $V(G) = U \cup W$ y $p \in (0, 1)$, se cumple

$$\left| e(X, Y) - p|X||Y| \right| = o(|U||W|), \quad \forall X \subset U, \quad \forall Y \subset W. \quad (27)$$

509

510 En efecto, si (U, W) es un par ε -regular, entonces todo $A \subset U$ y $B \subset W$ tales que $|A| \geq \varepsilon|U|$ y
 511 $|B| \geq \varepsilon|W|$ satisfacen

$$e(A, B) = d(U, W)|A||B| \pm \varepsilon|A||B| = d(U, W)|A||B| \pm \varepsilon|U||W|.$$

512

513 Ahora bien, si al menos uno de los subconjuntos de la condición de un par ε -regular no es
 514 suficientemente grande, digamos $|A| < \varepsilon|X|$, entonces

$$d(U, W)|A||B| - \varepsilon|U||W| < 0 \leq e(A, B) \leq |A||B| \leq \varepsilon|U||W| < d(U, W)|A||B| + \varepsilon|U||W|.$$

515

516 De esta manera, tomando $p = d(U, W)$, se obtiene la analogía planteada.

517 Por otro lado, con el espíritu del Teorema 15, es posible expresar un resultado análogo a la
 518 propiedad $\text{COUNT}_p(\varepsilon)$ utilizando el concepto de par ε -regular. Dicho resultado, para $H = K_3$ es
 519 conocido como el lema de conteo de triángulos.

520 **Lema 28.** (*Lema de conteo de triángulos*) Sea $\varepsilon > 0$, $G = (V, E)$ un grafo, y los conjuntos no
 521 necesariamente disjuntos $X, Y, Z \subset V$ tales que los pares (X, Y) , (Y, Z) y (X, Z) son ε -regular.
 522 Entonces,

$$|\{(x, y, z) \in X \times Y \times Z : xy, xz, yz \in E\}| = d(X, Y)d(X, Z)d(Y, Z)|X||Y||Z| \pm 3\varepsilon|X||Y||Z|.$$

523 *Demostración.* Se realizará un proceso inductivo similar al visto en la demostración de la Propo-
 524 sición 18 sobre la cantidad de aristas del grafo $K_3 = ([3], \{12, 23, 13\})$. Cuando el grafo no posee
 525 aristas, entonces

$$|\{(x, y, z) \in X \times Y \times Z : xy, xz, yz \notin E\}| = |X||Y||Z|.$$

526

527 También, recordando que la condición de un par ε -regular es equivalente a $\text{BI} - \text{DISC}_p(\varepsilon)$ para
 528 algún $p \in (0, 1)$, cuando el grafo presenta una arista,

$$|\{(x, y, z) \in X \times Y \times Z : xy \in E\}| = (d(X, Y)|X||Y| \pm \varepsilon|X||Y|)|Z|.$$

529

530 Ahora, se plantea la hipótesis inductiva de la siguiente manera:

$$|\{(x, y, z) \in X, Y, Z : xy, yz \in E\}| = d(X, Y)d(Y, Z)|X||Y||Z| \pm 2\varepsilon|X||Y||Z|.$$

531

532 Defina $e^- = \varphi(1)\varphi(3)$, y T^- como el grafo correspondido a una copia etiquetada del grafo
 533 $([3], \{12, 23\})$ en G bajo la aplicación inyectiva $\varphi : [3] \rightarrow V(T^-) \subset V$. Con esto, se desarrolla
 534 inductivamente como sigue:

$$\begin{aligned} |\{(x, y, z) \in X \times Y \times Z : xy, yz, xz \in E\}| &= \sum_{T^-} [\mathbb{1}_E(e^-) + d(X, Z) - d(X, Z)] \\ &= d(X, Y)d(Y, Z)d(X, Z)|X||Y||Z| \\ &\quad + \sum_{T^-} (\mathbb{1}_E(e^-) - d(X, Z)) \pm 2\varepsilon|X||Y||Z|. \end{aligned} \quad (28)$$

535

536 En este punto, nos falta probar que el segundo sumando de la igualdad (28) se corresponde
 537 con un factor de error, para esto, sea T^* una copia del grafo singleton $\{2\}$ en G , y considere los
 538 siguientes conjuntos:

$$\begin{aligned} A_1^{T^*} &= \{x \in X : T^* \text{ con } x \text{ forma una copia de } (\{1, 2\}, \{12\}) \text{ en } G\}. \\ A_3^{T^*} &= \{z \in Z : T^* \text{ con } z \text{ forma una copia de } (\{2, 3\}, \{23\}) \text{ en } G\}. \end{aligned}$$

540

541 De esta manera, dada la equivalencia de la condición del par (X, Z) ε -regular con versión bipar-
 542 tita de la propiedad $\text{DISC}_{d(X, Z)}(\varepsilon)$ vista en (27), se consigue la siguiente desigualdad:

$$\begin{aligned} \left| \sum_{T^-} (\mathbb{1}_E(e^-)) - d(X, Z) \right| &\leq \sum_{T^*} \left| \sum_{f \in A_1^{T^*} \times A_3^{T^*}} (\mathbb{1}_E(f) - d(X, Z)) \right| \\ &= \sum_{T^*} \left| e(A_1^{T^*}, A_3^{T^*}) - d(X, Z)|A_1^{T^*}||A_3^{T^*}| \right| \\ &\leq \sum_{T^*} \varepsilon|X||Z| \\ &\leq \varepsilon|X||Y||Z|. \end{aligned}$$

543

544 Finalmente, aplicando la última desigualdad en la ecuación (28) se prueba lo prometido. \square

En la demostración anterior solo fue necesario utilizar que los pares (X, Y) y (X, Z) son ε -regular, por lo que es interesante destacar que uno de los pares de conjuntos de vértices podría no ser necesariamente un par ε -regular para el que lema de conteo de triángulos funcione correctamente.

Bajo el mismo planteamiento de la inducción vista en la demostración del Lema 28 (y Proposición 18), es posible generalizar el resultado para contar apropiadamente cualquier grafo H . Se enuncia sin demostración.

Lema 29. *(Lema de conteo de grafos) Sea $\varepsilon > 0$, H un grafo sobre k vértices, y G un grafo de n vértices con los subconjuntos disjuntos $V_1, \dots, V_k \subset V(G)$ tales que los pares (V_i, V_j) son ε -regular siempre que $ij \in E(H)$. Entonces, la cantidad de tuplas $(v_1, \dots, v_k) \in V_1 \times \dots \times V_k$ tales que $v_i v_j \in E(G)$ cada vez que $ij \in E(H)$ es*

$$\left(\prod_{ij \in E(H)} d(V_i, V_j) \right) \left(\prod_{\ell=1}^k |V_\ell| \right) \pm e_H \cdot \varepsilon \prod_{\ell=1}^k |V_\ell|.$$

Ya conociendo el concepto de regularidad entre pares de subconjuntos de vértices, estudiamos la regularidad en una partición del conjunto de vértices del grafo.

Definición 30. *Dado un grafo G , una partición $\mathcal{P} = \{V_1, \dots, V_k\}$ del conjunto de vértices $V(G)$ es una **partición ε -regular** si*

$$\sum_{\substack{(i,j) \in [k]^2 \\ (V_i, V_j) \text{ no } \varepsilon\text{-regular}}} |V_i||V_j| \leq \varepsilon |V(G)|^2.$$

Es decir, todos los pares de subconjuntos de vértices en la partición son ε -regular salvo una fracción ε de pares de vértices.

Note que si una partición ε -regular de k partes es en particular una equipartición, entonces a lo más εk^2 pares de elementos de la partición no son ε -regular.

Ya con todo lo necesario, se introduce el lema de regularidad de Szemerédi. Intuitivamente, el lema permite particionar el conjunto de vértices de todo grafo en una cantidad finita de partes, satisfaciendo que la mayoría de sus pares de partes son ε -regular. Enunciamos el célebre lema, y se dará prueba formal más adelante.

Teorema 31. *(Lema de regularidad de Szemerédi) Para todo $\varepsilon > 0$, existe un entero $M = M(\varepsilon)$ tal que todo grafo admite una partición ε -regular de a lo más M partes.*

Para dar prueba a este teorema, se utilizará una técnica llamada *argumento de incremento de energía*. Para todo grafo G , la técnica funciona algorítmicamente de la siguiente manera:

1. Comenzar con la partición trivial de $V(G)$, i.e, $\mathcal{P} = \{V(G)\}$.

573 2. Mientras la partición actual \mathcal{P} no es ε -regular:

- 574 (a) Para cada par (V_i, V_j) no ε -regular, encontrar los subconjuntos $A^{ij} \subset V_i$ y $A^{ji} \subset V_j$ que
 575 evidencian la irregularidad de cada par.
 576 (b) Refinar \mathcal{P} utilizando simultáneamente los conjuntos A^{ij} y A^{ji} encontrados de cada par
 577 (V_i, V_j) no ε -regular para obtener \mathcal{Q} .
 578 (c) Actualizar \mathcal{P} con \mathcal{Q} .

579 Siendo \mathcal{P} y \mathcal{Q} dos particiones de un mismo conjunto de vértices, diremos que \mathcal{Q} refina a \mathcal{P} si
 580 cada parte de \mathcal{Q} está contenida en una parte de \mathcal{P} . En lo que resta de esta sección mostraremos
 581 que el algoritmo tiene un fin, y que entrega una partición ε -regular en un número de iteraciones
 582 que solo depende de ε .

583 **Definición 32.** (*Energía*) Sea G un grafo sobre n vértices y $X, Y \subset V(G)$. Se define en primer
 584 lugar

$$q(X, Y) := \frac{|X||Y|}{n^2} d(X, Y)^2 = \frac{e(X, Y)^2}{n^2 |X||Y|}.$$

585

586 Luego, para particiones $\mathcal{P}_X = \{X_1, \dots, X_k\}$ de X y $\mathcal{P}_Y = \{Y_1, \dots, Y_\ell\}$ de Y , se define

$$q(\mathcal{P}_X, \mathcal{P}_Y) := \sum_{i=1}^k \sum_{j=1}^{\ell} q(X_i, Y_j).$$

587

588 Finalmente, para una partición $\mathcal{P} = \{V_1, \dots, V_k\}$, se define la **energía** mediante

$$q(\mathcal{P}) := \sum_{i=1}^k \sum_{j=1}^k q(V_i, V_j) = \sum_{i=1}^k \sum_{j=1}^k \frac{|V_i||V_j|}{n^2} d(V_i, V_j)^2.$$

589 Observe que en toda partición \mathcal{P} de $V(G)$, siempre se tendrá que $0 \leq q(\mathcal{P}) \leq 1$. En efecto,

$$\begin{aligned} q(\mathcal{P}) &= \sum_{i=1}^k \sum_{j=1}^k \frac{|V_i||V_j|}{n^2} d(V_i, V_j)^2 \\ &\leq \frac{1}{n^2} \sum_{i=1}^k |V_i| \sum_{j=1}^k |V_j| \\ &= 1. \end{aligned}$$

590

La última observación es crucial en la demostración del Teorema 31, puesto que los Lemas 33, 34 y 35 nos asegurarán que la energía de una partición nunca decrece bajo refinamiento. Por consecuencia, el algoritmo de la técnica *argumento de incremento de energía* tendrá un fin, entregando una partición ε -regular.

El siguiente lema muestra que la energía no disminuye al particionar o refinar arbitrariamente un conjunto o partición respectivamente.

Lema 33. *Sea G un grafo, $X, Y \subset V(G)$, \mathcal{P}_X y \mathcal{P}_Y particiones de X e Y respectivamente, entonces $q(\mathcal{P}_X, \mathcal{P}_Y) \geq q(X, Y)$. Además, dadas dos particiones de vértices \mathcal{P} y \mathcal{P}' de G , $q(\mathcal{P}) \leq q(\mathcal{P}')$ cada vez que \mathcal{P}' refina a \mathcal{P} .*

Demostración. Considere un grafo G sobre n vértices, los conjuntos $X, Y \subset V(G)$, y las particiones $\mathcal{P}_X = \{X_1, \dots, X_k\}$ y $\mathcal{P}_Y = \{Y_1, \dots, Y_\ell\}$ de X e Y respectivamente. En primera instancia, se utiliza la desigualdad (3) para probar que $q(\mathcal{P}_X, \mathcal{P}_Y) \geq q(X, Y)$. Para esto, se desarrolla como sigue:

$$\begin{aligned}
q(\mathcal{P}_X, \mathcal{P}_Y) &= \sum_{i=1}^k \sum_{j=1}^{\ell} q(X_i, Y_j) \\
&= \frac{1}{n^2} \sum_{i=1}^k \sum_{j=1}^{\ell} \frac{e(X_i, Y_j)^2}{|X_i||Y_j|} \\
&\stackrel{(3)}{\geq} \frac{1}{n^2} \frac{\left(\sum_{i=1}^k \sum_{j=1}^{\ell} e(X_i, Y_j) \right)^2}{\sum_{i=1}^k \sum_{j=1}^{\ell} |X_i||Y_j|} \\
&= \frac{1}{n^2} \frac{e(X, Y)^2}{\left(\sum_{i=1}^k |X_i| \right) \left(\sum_{j=1}^{\ell} |Y_j| \right)} \\
&= \frac{e(X, Y)^2}{n^2 |X||Y|} \\
&= q(X, Y).
\end{aligned} \tag{29}$$

603

Sea ahora la partición $\mathcal{P} = \{V_1, \dots, V_k\}$ de $V(G)$ y $\mathcal{P}' = \{\mathcal{P}'_{V_1}, \dots, \mathcal{P}'_{V_k}\}$ un refinamiento de \mathcal{P} . Entonces, se utiliza el resultado probado previamente para completar el resultado:

605

$$q(\mathcal{P}) = \sum_{i=1}^k \sum_{j=1}^k q(V_i, V_j) \stackrel{(29)}{\leq} \sum_{i=1}^k \sum_{j=1}^k q(\mathcal{P}'_{V_i}, \mathcal{P}'_{V_j}).$$

606

□

Ahora, veremos que refinar un par (X, Y) no ε -regular de un grafo G , mediante los subconjuntos que evidencian su irregularidad, provoca un aumento estricto en la energía.

607

608

609 **Lema 34.** Sea $\varepsilon > 0$, G un grafo de n vértices y $X, Y \subset V(G)$. Si (X, Y) no es un par ε -regular,
610 existen particiones $\mathcal{P}_X = \{X_1, X_2\}$ de X y $\mathcal{P}_Y = \{Y_1, Y_2\}$ de Y tales que

$$q(\mathcal{P}_X, \mathcal{P}_Y) > q(X, Y) + \varepsilon^4 \frac{|X||Y|}{n^2}.$$

611 *Demostración.* Dado $\varepsilon > 0$, considere el grafo G sobre n vértices y $X, Y \subset V(G)$ subconjuntos
612 tales que el par (X, Y) no es ε -regular. Entonces, existen los subconjuntos $X_1 \subset X$ e $Y_1 \subset Y$ que
613 evidencian la irregularidad del par (X, Y) , y son tales que

$$|X_1| \geq \varepsilon|X| \text{ y } |Y_1| \geq \varepsilon|Y|. \quad (30)$$

614

615 Se define adicionalmente los conjuntos $X_2 := X \setminus X_1$, $Y_2 := Y \setminus Y_1$, y $\eta := d(X_1, Y_1) - d(X, Y)$,
616 cual por definición de par ε -regular, satisface* [Aquí quedé](#) *

$$|\eta| > \varepsilon. \quad (31)$$

617 Por un lado, observe la siguiente descomposición,

$$\begin{aligned} e(X, Y) &= e(X_1, Y) + e(X_2, Y) \\ &= e(X_1, Y_1) + e(X_1, Y_2) + e(X_2, Y_1) + e(X_2, Y_2). \end{aligned}$$

618 De esta manera,

$$\sum_{i+j>2} e(X_i, Y_j) = e(X, Y) - e(X_1, Y_1). \quad (32)$$

619 Por otro lado, se tiene que,

$$\begin{aligned} |X||Y| &= (|X_1| + |X_2|)(|Y_1| + |Y_2|) \\ &= |X_1||Y_1| + |X_1||Y_2| + |X_2||Y_1| + |X_2||Y_2|. \end{aligned}$$

620 Así,

$$\sum_{i+j>2} |X_i||Y_j| = |X||Y| - |X_1||Y_1|. \quad (33)$$

621 Ahora, definiendo las particiones $\mathcal{P}_X = \{X_1, X_2\}$ de X y $\mathcal{P}_Y = \{Y_1, Y_2\}$ de Y , desarrollamos,

$$\begin{aligned}
q(\mathcal{P}_X, \mathcal{P}_Y) &= \sum_{i=1}^2 \sum_{j=1}^2 q(X_i, Y_j) \\
&= \sum_{i=1}^2 \sum_{j=1}^2 \frac{e(X_i, Y_j)^2}{n^2 |X_i| |Y_j|} \\
&= \frac{1}{n^2} \left(\frac{e(X_1, Y_1)^2}{|X_1| |Y_1|} + \sum_{i+j>2} \frac{e(X_i, Y_j)^2}{|X_i| |Y_j|} \right) \\
&\stackrel{(3)}{\geq} \frac{1}{n^2} \left(\frac{e(X_1, Y_1)^2}{|X_1| |Y_1|} + \frac{\left(\sum_{i+j>2} e(X_i, Y_j) \right)^2}{\sum_{i+j>2} |X_i| |Y_j|} \right) \\
&\stackrel{(32) \text{ y } (33)}{=} \frac{1}{n^2} \left(\frac{e(X_1, Y_1)^2}{|X_1| |Y_1|} + \frac{(e(X, Y) - e(X_1, Y_1))^2}{|X| |Y| - |X_1| |Y_1|} \right). \tag{34}
\end{aligned}$$

622 Luego, por definición, note que

$$e(X_1, Y_1) = \frac{|X_1| |Y_1| e(X, Y)}{|X| |Y|} + \eta |X_1| |Y_1|. \tag{35}$$

623 Con esto, se continúa el cálculo desde la desigualdad (34) como sigue, * Me podré saltar un
624 espacio más pequeño abajo? *

$$\begin{aligned}
n^2 q(\mathcal{P}_X, \mathcal{P}_Y) &\geq \frac{e(X_1, Y_1)^2}{|X_1| |Y_1|} + \frac{(e(X, Y) - e(X_1, Y_1))^2}{|X| |Y| - |X_1| |Y_1|} \\
&\stackrel{(35)}{=} \frac{1}{|X_1| |Y_1|} \left(\frac{|X_1| |Y_1| e(X, Y)}{|X| |Y|} + \eta |X_1| |Y_1| \right)^2 \\
&\quad + \frac{1}{|X| |Y| - |X_1| |Y_1|} \left(\frac{|X| |Y| - |X_1| |Y_1|}{|X| |Y|} e(X, Y) - \eta |X_1| |Y_1| \right)^2 \\
&= \frac{|X_1| |Y_1|}{|X|^2 |Y|^2} e(X, Y)^2 + 2 \frac{|X_1| |Y_1|}{|X| |Y|} \eta e(X, Y) + \eta^2 |X_1| |Y_1| \\
&\quad + \frac{|X| |Y| - |X_1| |Y_1|}{|X|^2 |Y|^2} e(X, Y)^2 - 2 \frac{|X_1| |Y_1|}{|X| |Y|} \eta e(X, Y) + \frac{\eta^2 |X_1|^2 |Y_1|^2}{|X| |Y| - |X_1| |Y_1|} \\
&= \frac{e(X, Y)^2}{|X| |Y|} + \eta^2 |X_1| |Y_1| \left(1 + \frac{|X_1| |Y_1|}{|X| |Y| - |X_1| |Y_1|} \right) \\
&\geq \frac{e(X, Y)^2}{|X| |Y|} + \eta^2 |X_1| |Y_1|. \tag{36}
\end{aligned}$$

627 Finalmente, utilizando las cotas (30) y (31), podemos concluir desde la desigualdad (36),

$$\begin{aligned}
 q(\mathcal{P}_X, \mathcal{P}_Y) &= \frac{e(X, Y)^2}{n^2 |X| |Y|} + \eta^2 \frac{|X_1| |Y_1|}{n^2} \\
 &= q(X, Y) + \eta^2 \frac{|X_1| |Y_1|}{n^2} \\
 &> q(X, Y) + \varepsilon^4 \frac{|X| |Y|}{n^2}.
 \end{aligned}$$

628 □

629 Vimos que particionar cualquier par de conjuntos no ε -regular por medio de sus subconjuntos
 630 que evidencian la irregularidad produce un aumento en la energía. Entonces, haciendo alusión al
 631 paso 2(b) del algoritmo de la técnica *argumento de incremento de energía*, se mostrará que refinar
 632 simultáneamente todos los pares de conjuntos no ε -regular de un grafo produce un aumento estricto
 633 de al menos ε^5 en la energía.

634 **Lema 35.** Sea $\varepsilon > 0$, un grafo G y una partición $\mathcal{P} = \{V_1, \dots, V_k\}$ no ε -regular de $V(G)$. Entonces
 635 existe un refinamiento \mathcal{Q} de \mathcal{P} , en el que cada V_i se particiona en a lo más 2^k partes y es tal que

$$q(\mathcal{Q}) > q(\mathcal{P}) + \varepsilon^5.$$

636 *Demostración.* Sea $\varepsilon > 0$ y $\mathcal{P} = \{V_1, \dots, V_k\}$ una partición no ε -regular del conjunto de n vértices
 637 de un grafo G . Sabemos que para todos los $(i, j) \in [k]^2$ tales que el par (V_i, V_j) no es ε -regular,
 638 existen los subconjuntos $A^{ij} \subset V_i$ y $A^{ji} \subset V_j$ testigos de su irregularidad. Observe que para cada
 639 V_i , podemos encontrar a lo más k conjuntos no vacíos A^{ij} que evidencian la irregularidad de los
 640 pares (V_i, V_j) no ε -regular. Consideremos ahora la partición $\mathcal{Q} = \{Q_1, \dots, Q_k\}$ que refina a \mathcal{P} , en
 641 la que cada Q_i es una partición resultante de dividir el conjunto V_i según la intersección de todos
 642 los subconjuntos no vacíos A^{ij} que atestiguan la irregularidad de los pares (V_i, V_j) no ε -regular. En
 643 consecuencia, $|Q_i| \leq 2^k$.

644 Por simplicidad en la notación, se define $\Theta := \{(i, j) \in [k]^2 : (V_i, V_j) \text{ es } \varepsilon\text{-regular}\}$. Luego, como
 645 la partición \mathcal{P} no es ε -regular, se cumple la desigualdad

$$\sum_{(i,j) \notin \Theta} \frac{|V_i| |V_j|}{n^2} > \varepsilon. \quad (37)$$

646 Así, junto a los lemas probados previamente, damos prueba al resultado de la siguiente manera,

$$\begin{aligned}
q(\mathcal{Q}) &= \sum_{(i,j) \in [k]^2} q(\mathcal{Q}_i, \mathcal{Q}_j) \\
&= \sum_{(i,j) \in \Theta} q(\mathcal{Q}_i, \mathcal{Q}_j) + \sum_{(i,j) \notin \Theta} q(\mathcal{Q}_i, \mathcal{Q}_j) \\
&\stackrel{\text{Lema 33}}{\geq} \sum_{(i,j) \in \Theta} q(V_i, V_j) + \sum_{(i,j) \notin \Theta} q(\{A^{ij}, V_i \setminus A^{ij}\}, \{A^{ji}, V_j \setminus A^{ji}\}) \\
&\stackrel{\text{Lema 34}}{\geq} \sum_{(i,j) \in \Theta} q(V_i, V_j) + \sum_{(i,j) \notin \Theta} \left(q(V_i, V_j) + \varepsilon^4 \frac{|V_i||V_j|}{n^2} \right) \\
&= \sum_{(i,j) \in [k]^2} q(V_i, V_j) + \sum_{(i,j) \notin \Theta} \varepsilon^4 \frac{|V_i||V_j|}{n^2} \\
&\stackrel{(37)}{\geq} q(\mathcal{P}) + \varepsilon^5.
\end{aligned}$$

647 * Cambiar por $>$ en la última línea y donde dice lema 5, cuando lo cambio se me descuadra :c
648 * □

649 Ya con todo lo necesario, damos prueba formal al Teorema 31 mediante la técnica de *argumento*
650 *de incremento de energía*.

651 *Demostración del Teorema 31.* Dado $\varepsilon > 0$ y un grafo G , elegimos inicialmente la partición trivial
652 del conjunto de vértices $\mathcal{P} = \{V(G)\}$. Ahora, iterativamente (actualizando \mathcal{P}), aplicaremos el Lema
653 35 cada vez que la partición actual no sea ε -regular. Observe que por cada aplicación del Lema 35 se
654 consigue un aumento de al menos ε^5 en la energía, y como la energía de toda partición está acotada
655 superiormente por 1, el proceso iterativo terminará luego de a lo más ε^{-5} pasos. El resultado será
656 necesariamente una partición ε -regular debido a la cota de la energía.

657 Para una partición no ε -regular con k elementos, el Lema 35 encuentra un refinamiento de a lo
658 más $k2^k$ partes. Dicho refinamiento será producido en cada iteración del algoritmo de *argumento*
659 *de incremento de energía*, y la cantidad de partes producidas las acotaremos crudamente en cada
660 paso por $k2^k < 2^{2^k}$. Comenzando con la partición trivial de una parte, ejemplificaremos con las
661 tres primeras iteraciones del algoritmo para mostrar la cantidad de partes producidas en cada paso
662 tras aplicar el Lema 35.

$$\begin{aligned}
1^{\text{ra}} \text{ Iteración: } 1 &\rightarrow 2 < 2^2 && \text{partes.} \\
2^{\text{da}} \text{ Iteración: } 2^2 &\rightarrow (2^2) 2^{(2^2)} < 2^{2^{2^2}} && \text{partes.} \\
3^{\text{ra}} \text{ Iteración: } 2^{2^{2^2}} &\rightarrow (2^{2^{2^2}}) 2^{(2^{2^{2^2}})} < 2^{2^{2^{2^{2^2}}}} && \text{partes.}
\end{aligned}$$

663 Así, como el algoritmo debe luego de a lo más ε^{-5} iteraciones, la cantidad de partes al final de
664 proceso será

$$M(\varepsilon) \leq 2^{2^{\dots^{2^2}}} \Bigg\} \text{ Altura } 2\varepsilon^{-5}.$$

665

□

666 Desde ahora en adelante, vamos a definir y consirar una *torre de altura k* de la siguiente manera,

$$\text{torre}(k) := 2^{2^{\dots^2}} \Bigg\} \text{Altura } k. \quad (38)$$

667

668 * En esta parte me gustaría dejar un comentario sobre lo grande que es la cota y el resultado
 669 que encontró Gowers en 1997 de cota inferior, pero no lo entiendo :c *

670 Una de las peculiaridades del lema de regularidad de Szemerédi es la flexibilidad que posee su
 671 enunciado, adaptando su aplicación a diferentes contextos. Por ejemplo, si en la demostración del
 672 Teorema 31 tomamos una partición inicial arbitraria en vez de la partición trivial del conjunto de
 673 vértices del grafo, se logra obtener la siguiente variante del lema de regularidad.

674 **Teorema 36.** (*Regularidad de Szemerédi - Partición inicial arbitraria*) Para todo $\varepsilon > 0$, existe un
 675 entero $M = M(\varepsilon)$ tal que todo grafo G con una partición inicial \mathcal{P}_0 de $V(G)$ admite una partición
 676 ε -regular \mathcal{P} de $V(G)$ que refina cada parte de \mathcal{P}_0 en a lo más M partes.

677 Es posible fortalecer un poco más el lema de regularidad exigiendo que el resultado sea una
 678 equipartición del conjunto de vértices de un grafo G . Es decir, una partición $\mathcal{P} = \{V_1, \dots, V_k\}$ tal
 679 que $|V_1| \leq |V_2| \leq \dots \leq |V_k| = |V_1| + 1$.

680 **Teorema 37.** (*Regularidad de Szemerédi - Equipartición*) Para todo $\varepsilon > 0$ y $m_0 \in \mathbb{N}$, existe un
 681 entero $M = M(\varepsilon)$ tal que todo grafo admite una equipartición ε -regular de su conjunto de vértices
 682 de k partes, con $m_0 \leq k \leq M$.

683 * Comentar que cuando tenemos esta versión del teorema (que es la clásica), entonces la defini-
 684 ción de una partición ε -regular se traduce en $\dots \leq \varepsilon k^2$. También hablar un poco de m_0 , cual ayuda
 685 a que ninguna de las partes sea demasiado grande. *

686 La idea de la demostración del Teorema 37 consiste en modificar el algoritmo de la técnica de
 687 argumento de incremento de energía, de manera que en cada iteración del refinamiento se logre
 688 obtener una equipartición. Este procedimiento conservará el incremento de energía en cada paso y
 689 terminará con una equipartición del conjunto de vértices de un grafo cualquiera. Para todo grafo
 690 G , la modificación del algoritmo es la siguiente:

- 691 1. Comenzar con una equipartición inicial arbitraria \mathcal{P} de $V(G)$ con m_0 partes.
- 692 2. Mientras la partición actual \mathcal{P} no es ε -regular:
 - 693 (a) Para cada par (V_i, V_j) no ε -regular, encontrar los subconjuntos $A^{ij} \subset V_i$ y $A^{ji} \subset V_j$ que
 694 evidencian la irregularidad de cada par.
 - 695 (b) Refinar \mathcal{P} usando simultáneamente los conjuntos A^{ij} y A^{ji} para obtener la partición \mathcal{Q} ,
 696 cual divide cada parte de \mathcal{P} en a lo más $2^{|\mathcal{P}|}$ partes.

- 697 (c) Modificar la partición \mathcal{Q} refinando, si es posible, cada uno de sus elementos para formar
698 partes iguales de tamaño $|V(G)|/m$ utilizando alguna elección apropiada del entero $m =$
699 $m(|\mathcal{Q}|, \varepsilon)$. Luego, los elementos de \mathcal{Q} que no fueron refinados previamente a causa de su
700 bajo tamaño y los conjuntos de vértices residuales del refinamiento anterior, deben ser
701 combinados y posteriormente dividir el resultado en partes iguales de tamaño $|V(G)|/m$.
702 (d) Actualizar \mathcal{P} con la modificación de \mathcal{Q} .

703 El algoritmo anterior obtiene una equipartición del conjunto de vértices del grafo G . En lo que
704 respecta a la energía del proceso, el paso 2(b) conserva un aumento de al menos ε^5 en cada iteración.
705 El paso 2(c) podría ocasionar una baja en la energía, sin embargo, no debería ser significativa con
706 una elección de m suficientemente grande.² En resumidas cuentas, el proceso anterior aumenta la
707 energía en cada iteración en al menos $\varepsilon^5/2$, logrando terminar luego de a lo más $2\varepsilon^{-5}$ pasos con
708 una equipartición de a lo más $\text{torre}(\varepsilon^{-5})$ partes.

709 4.2. Aplicaciones

710 Usualmente las aplicaciones del lema de regularidad de Szemerédi son desarrolladas en base a
711 los siguientes pasos:

- 712 1. Obtener una **partición** del conjunto de vértices del grafo con el lema de regularidad.
713 2. **Limpiar** el grafo eliminando aristas con mal comportamiento según el problema. General-
714 mente, se eliminan las aristas entre los pares de partes que presentan:
715 i) Irregularidad.
716 ii) Baja densidad.
717 iii) Al menos una de las partes es demasiado pequeña.
718 3. **Contar** un determinado patrón en el grafo limpio utilizando algún lema de conteo.

719 Teniendo esta fórmula en mente, damos paso a la primera aplicación del lema de regularidad,
720 cual plantea intuitivamente que todo grafo con *pocos* triángulos puede convertirse en un grafo libre
721 de triángulos eliminando *pocas* aristas. Formalmente,

722 **Teorema 38.** (*Lema de eliminación de triángulos*) Para todo $\varepsilon > 0$, existe $\delta > 0$ y $n_0 \in \mathbb{N}$ tal
723 que todo grafo sobre $n \geq n_0$ vértices con a lo más δn^3 triángulos se puede hacer libre de triángulos
724 eliminando a lo más εn^2 aristas.

725 *Demostración.* Dado $\varepsilon > 0$, elija $\varepsilon_r = \frac{1}{4} \left(\frac{\varepsilon}{3}\right)^3$ y utilice el Teorema 31 para obtener la constante
726 $M = M(\varepsilon_r)$. Considere además $\delta = \frac{1}{2} \frac{\varepsilon_r^4}{M^3}$ y $n_0 \in \mathbb{N}$ suficientemente grande, de manera tal que el
727 grafo $G = (V, E)$ con $n \geq n_0$ vértices posee a lo más εn^3 triángulos. Luego, nuevamente por el
728 Teorema 31, se asegura la existencia de una partición ε_r -regular $\mathcal{P} = \{V_1, \dots, V_M\}$.

729 Para limpiar el grafo, para cada $(i, j) \in [M]^2$, se eliminan todas las aristas entre V_i y V_j cuando

^{2*} Aquí quiero hacer un comentario/ejemplo de m . Yufei sugiere $m = \lfloor 100|\mathcal{Q}|\varepsilon^{-5} \rfloor$, pero tampoco lo entiendo mucho. *

730 (a) (V_i, V_j) no es un par ε_r -regular,

731 (b) $d(V_i, V_j) < (4\varepsilon_r)^{1/3}$, o

732 (c) $\min\{|V_i||V_j|\} < \frac{n}{M}\varepsilon_r$.

733 De esta manera, como la partición es ε_r -regular, las aristas removidas por la condición (a) son
734 a lo más

$$\sum_{\substack{(i,j) \in [M]^2 \\ (V_i, V_j) \text{ no } \varepsilon_r\text{-regular}}} |V_i||V_j| \leq \varepsilon_r n^2.$$

735

736 Las aristas eliminadas en los conjuntos de baja densidad por la condición (b) son a lo más

$$\sum_{\substack{(i,j) \in [M]^2 \\ d(V_i, V_j) < (4\varepsilon_r)^{1/3}}} d(V_i, V_j)|V_i||V_j| < (4\varepsilon_r)^{1/3} \sum_{(i,j) \in [M]^2} |V_i||V_j| = (4\varepsilon_r)^{1/3} n^2.$$

737

738 Por último, debido a que cada vértice de G puede ser adyacente con a lo más $\frac{n}{M}\varepsilon_r$ vértices en
739 a lo más M subconjuntos demasiado pequeños, las aristas removidas por (c) son a lo más

$$M \cdot \frac{n}{M}\varepsilon_r \cdot n = \varepsilon_r n^2.$$

740

741 En total, en la limpieza, se eliminan a lo más εn^2 aristas.

742 Ahora, nos falta probar que el grafo limpio $G' = (V, E')$ es libre de triángulos. Para esto, observe
743 que la condición de eliminación de aristas (a) nos asegura que cada par (V_i, V_j) es ε_r -regular, y que
744 se satisface la hipótesis del lema de conteo de grafos. Entonces, si luego de la limpieza del grafo aún
745 existe un triángulo $(x, y, z) \in V_i \times V_j \times V_\ell$, el Lema 28 nos dice que incluso hay más triángulos. En
746 particular, gracias a la eliminación de las aristas por la condición (b) y (c),

$$\begin{aligned} |\{(x, y, z) \in V_i \times V_j \times V_\ell : xy, yz, xz \in E'\}| &\geq d(V_i, V_j)d(V_i, V_\ell)d(V_j, V_\ell)|V_i||V_j||V_\ell| - 3\varepsilon_r|V_i||V_j||V_\ell| \\ &\geq \varepsilon_r|V_i||V_j||V_\ell| \\ &\geq \frac{\varepsilon^4 n^3}{M^3} \\ &> \delta n^3. \end{aligned}$$

747

748 Finalmente, con nuestra elección de δ , el resultado se prueba formulando la siguiente contradic-
749 ción: si existe un triángulo en el grafo limpio G' , el lema de conteo de triángulos nos dice que en
750 realidad existen más de δn^3 triángulos. No obstante, el grafo original posee a lo más δn^3 triángulos,
751 por lo que se concluye que el grafo G' obtenido desde G es libre de triángulos removiendo a lo más
752 εn^2 aristas. \square

Denotaremos por k -PA a una progresión aritmética de k elementos. En particular, diremos que un conjunto de números naturales A es libre de 3-PA si no existen los elementos $x, x+y, x+2y \in A$, con $y \neq 0$. Cuando $y = 0$, diremos que la 3-PA es trivial.

Teorema 39. (Teorema de Roth) Para todo $\varepsilon > 0$, existe $n_0 \in \mathbb{N}$ tal que si el conjunto $A \subset [n]$ posee $|A| \geq \varepsilon n$ elementos, entonces A contiene una 3-PA no trivial cada vez que $n \geq n_0$.

Demostración. Sea $\varepsilon > 0$ y el conjunto $A \subset [n]$ con $|A| \geq \varepsilon n$ elementos. La idea es construir un grafo 3-partito de manera conveniente para posteriormente utilizar el lema de eliminación de triángulos. Considere el grafo 3-partito $G = (V, E)$ con partición de vértices $V = V_1 \cup V_2 \cup V_3$, en donde $V_1 = [n]$, $V_2 = [2n]$ y $V_3 = [3n]$, y son disjuntos entre cada par de ellos. Así, G tiene $6n$ vértices, y se definen las aristas de la siguiente manera:

1. Existe una arista desde $i \in V_1$ hasta $j \in V_2$ si y solamente si $j - i \in A$.
2. Existe una arista desde $j \in V_2$ hasta $k \in V_3$ si y solamente si $k - j \in A$.
3. Existe una arista desde $i \in V_1$ hasta $k \in V_3$ si y solamente si $\frac{k-i}{2} \in A$.

Luego, la tupla $(i, j, k) \in V_1 \times V_2 \times V_3$ define un triángulo en G si y solamente si $j - i \in A$, $k - j \in A$ y $\frac{k-i}{2} \in A$, o bien, $\{j - i, \frac{k-i}{2}, k - j\}$ es una 3-PA en A con diferencia $\frac{k-2j+i}{2}$. En específico, diremos que un triángulo $(i, j, k) \in V_1 \times V_2 \times V_3$ es trivial en G si para algún $a \in A$ se satisface que $j - i = \frac{k-i}{2} = k - j = a$.

Ahora, observando que cada triángulo trivial se puede identificar con el par $(i, a) \in V_1 \times A$, la cantidad de triángulos triviales es exactamente $n|A| \geq \varepsilon n^2$. Además, por construcción, no existen triángulos triviales que compartan una arista, por lo que no se puede eliminar dos triángulos triviales removiendo solo una arista. En consecuencia, debemos eliminar al menos $\varepsilon n^2 = \frac{\varepsilon}{36}(6n)^2$ aristas para hacer de G libre de triángulos.

Utilizando el lema eliminación de triángulos eligiendo $\varepsilon_0 = \frac{\varepsilon}{36}$, existen $\delta_0 > 0$ y $n'_0 \in \mathbb{N}$ tal que el grafo G con $6n \geq n'_0$ vértices y a lo más $\delta_0(6n)^3$ triángulos, se convierte en libre de triángulos eliminando a lo más $\varepsilon_0(6n)^2$ aristas. Entonces, estableciendo $\delta = 216\delta_0$, note que existen como máximo $\delta n^3 - \varepsilon n^2$ triángulos no triviales. Sabiendo esto, aseguramos la existencia de un triángulo no trivial cuando $n > \frac{\varepsilon+1}{\delta}$. En efecto,

$$n > \frac{\varepsilon + 1}{\delta} \Rightarrow \delta n - \varepsilon > 1 \Rightarrow n^2(\delta n - \varepsilon) > 1.$$

Finalmente, el resultado queda demostrado tomando $n_0 > \max \left\{ \frac{n'_0}{6}, \frac{\varepsilon+1}{\delta} \right\}$ suficientemente grande. \square

Definición 40. Dado un grafo $G = (V, E)$, un conjunto $M \subseteq E$ es un **emparejamiento** en G si no existen un par de aristas en M que compartan algún vértice. Diremos que M es un **emparejamiento inducido** si es un emparejamiento y toda arista de G con un vértice en $V(M)$ es una arista en M .

* Usar k o M para la cantidad de partes?, aquí se me confunde con el emparejamiento, pero en TRL y demo espectral de regularidad usé M como las partes. De momento en esta parte lo dejaré con k . *

Teorema 41. (*Emparejamiento inducido*) Para todo $\varepsilon > 0$, existe $n_0 \in \mathbb{N}$ tal que todo grafo $G = (V, E)$ de $n \geq n_0$ vértices que está compuesto por la unión de n emparejamientos inducidos, posee a lo más εn^2 aristas.

Demostración. Dado $\varepsilon > 0$, aplique el Teorema 31 con $\varepsilon_r = \frac{\varepsilon}{10}$ para obtener la constante $M(\varepsilon_r)$. Considere $n_0 \in \mathbb{N}$ suficientemente grande, y asuma que el grafo $G = (V, E)$ con $n \geq n_0$ vértices y compuesto por n emparejamientos inducidos satisface $e_G > \varepsilon n$. Nuevamente, por el Teorema 31, se asegura la existencia de la partición $\mathcal{P} = \{V_1, \dots, V_k\}$ con $k \leq M(\varepsilon)$ partes que es ε_r -regular.

Para cada $(i, j) \in [k]^2$ se eliminan todas las aristas entre los conjuntos V_i y V_j cuando éstos presenten irregularidad, densidad menor que $2\varepsilon_r$, o al menos uno de los conjuntos es menor que $\frac{n}{k}\varepsilon_r$. En total, el proceso de limpieza remueve a lo más $4\varepsilon_r n^2$ aristas de G para obtener un nuevo grafo G' . En consecuencia,

$$e'_G \geq e_G - 4\varepsilon_r n^2 > \varepsilon n^2 - \frac{4}{10}\varepsilon n^2 > \frac{\varepsilon}{2}n^2.$$

Ahora, observe que debe existir un emparejamiento inducido M en G' con al menos $\frac{\varepsilon}{2}n$ aristas (y al menos εn vértices). De no ser así, todos los emparejamientos tendrían a lo más $\frac{\varepsilon}{2}n$ aristas, por lo que $e'_G < \frac{\varepsilon}{2}n^2$.

Se define $U_i := V_i \cap V(M)$ como el subconjunto de vértices de M que comparte elementos con V_i , y $U := \bigcup_{i \in [k]} \{U_i : |U_i| \geq \varepsilon_r |V_i|\}$. Es decir, U es la unión de todos los conjuntos $U_i \subset V(M)$ que comparten una fracción suficientemente grande de vértices con V_i . Note que podemos obtener el conjunto U removiendo a lo más $\varepsilon_r n = \frac{\varepsilon}{10}n$ vértices de $V(M)$, pues

$$\sum_{i \in [k]} |U_i| < \sum_{i \in [k]} \varepsilon_r |V_i| = \frac{\varepsilon}{10}n.$$

De esta manera, recordando que $|V(M)| \geq \varepsilon n$, se determina que $|U| > \varepsilon n - \frac{\varepsilon}{10}n = \frac{9}{10}\varepsilon n$. Además, como también $|M| \geq \frac{\varepsilon}{2}n$, debe existir al menos un vértice en U que sea parte de una arista en M . Luego, dada la limpieza de G , dicha arista debe pertenecer a algún par $U_t \times U_\ell$ que satisfacen $|U_k| \geq \varepsilon_r |V_k|$ y $|U_\ell| \geq \varepsilon_r |V_\ell|$, y son tales que su correspondiente par (V_t, V_ℓ) es ε_r -regular con densidad $d(V_t, V_\ell) \geq 2\varepsilon_r$. Entonces, por regularidad,

$$d(U_t, U_\ell) = d(V_t, V_\ell) \pm \varepsilon_r \geq 2\varepsilon_r - \varepsilon_r = \varepsilon_r. \quad (39)$$

Ahora, como que M es un emparejamiento inducido, todo par de subconjuntos $A, B \subset V(M)$ debe satisfacer

$$e(A, B) \leq \min\{|A|, |B|\}.$$

818

819 Sin embargo, la desigualdad (39) implica que

$$\begin{aligned} e(U_t, U_\ell) &= d(U_t, U_\ell)|U_t||U_\ell| \\ &\geq |U_t||U_\ell|\varepsilon_r \\ &\geq |U_t||V_\ell|\varepsilon_r^2 \\ &\geq |U_t|\frac{n}{k}\varepsilon_r^3 \\ &> |U_t|. \end{aligned}$$

820

821 La desigualdad anterior nos dice que existe una arista entre U_k y U_ℓ que no pertenece a M , por
822 lo que se contradice la hipótesis de que M es un emparejamiento inducido. \square

823 * Comentar que el siguiente teorema será utilizado para demostrar alternativamente el Teorema
824 de Roth. *

825 **Teorema 42.** (Ajtai-Szemerédi) Para todo $\varepsilon > 0$, existe $n_0 \in \mathbb{N}$ tal que siempre que $n \geq n_0$, todo
826 subconjunto $S \subset [n]^2$ con $|S| \geq \varepsilon n^2$ posee elementos de la forma $\{(a, b), (a + d, b), (a, b + d)\}$ para
827 algún $a, b, d \in \mathbb{N}$, con $d \neq 0$.

828 *Demostración.* Sea $\varepsilon > 0$, $n_0 \in \mathbb{N}$ suficientemente grande tal que $n \geq n_0$, y $S \subset [n]^2$ un subconjunto
829 con al menos εn^2 elementos. Vamos a construir un grafo bipartito $G = (U \cup W, E)$ con conjunto de
830 vértices $U = \{u_1, \dots, u_n\}$ y $W = \{w_1, \dots, w_n\}$ definiendo las aristas de la siguiente manera:

$$u_i w_j \in E \iff (i, j) \in S.$$

831

832 Interpretando a $[n]^2$ como una grilla bidimensional, se puede definir una relación entre pares de
833 aristas en G en función de la distancia que abarca la suma de las coordenadas de sus respectivos
834 pares en S . Esto es,

$$u_i w_j \sim u_k w_\ell \iff i + j = k + \ell = q.$$

835

836 * Dibujito con 2 ejemplos de q . * Observe que para cada $2 \leq q \leq 2n$ se define un emparejamiento
837 en G debido a que no existen aristas que compartan un vértice, por lo que las clases de equivalencia
838 (cada una asociada a algún q) de la relación forman una partición de emparejamientos de E . En
839 efecto, suponga que las aristas que pertenecen a la misma clase $u_i w_j$ y $u_k w_j$ comparten el vértice
840 w_j . Entonces, como $i + j = k + j$, se determina que $u_i = u_k$ y se concluye que $u_i w_j$ y $u_k w_j$ son la
841 misma arista.

842 Luego, como $e_G = |S| \geq \varepsilon n^2$, el Teorema 41 asegura que existe al menos un emparejamiento no
843 inducido. Esto significa que en un emparejamiento que contiene las aristas con la relación $u_i w_j \sim$
844 $u_k w_\ell$ puede existir el trío de aristas $u_i w_j$, $u_k w_\ell$ y $u_i w_\ell$. Así, para algún $d \in \mathbb{N}$, (i, j) , (k, ℓ) y (i, ℓ)
845 elementos de S que satisfacen

$$k - i = j - \ell = d.$$

846

847 Finalmente, el resultado se consigue tomando $(i, \ell) = (a, b)$ para obtener $j = b + d$ y $k = a + d$.
848 * Poner dibujito de la esquina * □

849 * Comentar que el Teorema de la esquina nos entrega otro camino para demostrar el Teorema
850 de Roth. *

851 *Segunda demostración Teorema 39.* Dado $\varepsilon > 0$, escogemos $n_0 \in \mathbb{N}$ suficientemente grande. Para
852 $n \geq n_0$, sea $A \subset [n]$ un conjunto que posee al menos εn elementos. Se define el siguiente conjunto:

$$B = \{(x, y) \in [2n]^2 : x - y \in A\},$$

853

854 Observe que cada $a \in A$ da lugar a exactamente n elementos en B con $x - y = a$, permitiendo
855 determinar que $|B| = n|A| \geq \varepsilon n^2$. Luego, el Teorema 42 asegura la existencia de elementos de la
856 forma $\{(a, b), (a, b + d), (a + d, b)\}$ en B . Por consecuencia, se encuentra una 3-PA no trivial en A
857 tomando $x = a - b$, e $y = d$. □

858 * Explicar que ahora vamos a demostrar con teoría espectral el lema de regularidad de Szemerédi.
859 Comentar también que esta versión la realizó Terence Tao. *

860 *Demstración espectral Teorema 31.* Sea $\varepsilon > 0$, $G = ([n], E)$ un grafo y T su matriz de adyacencia.
861 Consideramos además $\{u_1, \dots, u_n\}$ la base ortonormal de \mathbb{R}^n formada por los vectores propios de T ,
862 y $|\lambda_1| \geq \dots \geq |\lambda_n|$ los valores propios de T ordenados de manera decreciente.

863 Por la Proposición 4 y el Corolario 8, se satisface

$$\text{Tr}(T) = \sum_{i=1}^n \lambda_i^2 = 2e_G \leq n^2. \quad (40)$$

864

865 De esta manera, al notar que $i\lambda_i^2 \leq \sum_{j=1}^i \lambda_j^2 \leq n^2$, es posible acotar cada valor propio de la
866 siguiente manera:

$$\lambda_i \leq \frac{n}{\sqrt{i}}, \quad \forall i \in [n]. \quad (41)$$

867

868 Al final de esta demostración se entregará una función $f : \mathbb{N} \rightarrow \mathbb{N}$ que depende únicamente
869 de ε y que satisface $f(i) > i$. Denotando por $f^{(k)}$ a la k -ésima composición de f con ella misma,
870 consideramos una partición de $[n]$ en intervalos de la forma $[f^{(k-1)}(1), f^k(1)]$, para $k \in \{1, \dots, \frac{1}{\varepsilon^3}\}$.
871 Con esta construcción, debe existir un natural $\ell = f^{(k-1)}(1)$ que cumple con

$$\sum_{\ell \leq j < f(\ell)} |\lambda_j|^2 \leq \varepsilon^3 n^2. \quad (42)$$

872

873 De lo contrario, la suma de $|\lambda_j|^2$ sobre todos los intervalos definidos es estrictamente mayor que
874 $\varepsilon^3 n^2$. Así, como son $\frac{1}{\varepsilon^3}$ intervalos, se contradice la desigualdad (40), pues

$$\sum_{j=1}^n |\lambda_j|^2 > \frac{1}{\varepsilon^3} \cdot \varepsilon^3 n^2 = n^2.$$

875

876 Ahora, usando el natural ℓ , separamos la matriz T en tres partes. En específico,

$$T = T_1 + T_2 + T_3.$$

877

878 Se interpretará T_1 como la componente *estructural*,

$$T_1 := \sum_{i < \ell} \lambda u_i u_i^T,$$

879

880 T_2 como la componente de *error*,

$$T_2 := \sum_{\ell \leq i < f(\ell)} \lambda_i u_i u_i^T,$$

881

882 y T_3 como la componente *casi-aleatoria*,

$$T_3 := \sum_{i \geq f(\ell)} \lambda_i u_i u_i^T.$$

883

884 Pensamos cada vector propio de T como una función $u_i : [n] \rightarrow \mathbb{R}$. En otras palabras, todo
885 vector propio asigna un *peso* a cada vértice de G .

886 **Analizamos T_1 .** La idea es particionar el conjunto de vértices $[n]$ de manera tal que T_1 es
887 aproximadamente constante en la mayoría de las partes. Veremos que el número de partes será
888 $O_{\ell, \varepsilon}(1)$, es decir, un valor constante que depende solo de ℓ y ε .

Para cada $i \in [\ell-1]$ ordenamos de manera creciente los v rtices de G seg n la asignaci n de *pesos* que otorga $u_i(\cdot)$. En primera instancia, se agrupa en un conjunto excepcional a aquellos v rtices que presenten un *peso* demasiado grande en magnitud. Dicho conjunto se define de la siguiente manera:

$$V_0^i := \left\{ k \in [n] : |u_i(k)| > \sqrt{\frac{\ell}{\varepsilon}} n^{-1/2} \right\}.$$

Dado que $\|u_i\| = 1$, cada V_0^i no puede tener muchos elementos. En efecto, al observar que

$$|V_0^i| \left(\sqrt{\frac{\ell}{\varepsilon}} n^{-1/2} \right)^2 < \sum_{k=1}^n u_i(k)^2 = \|u_i\|^2 = 1,$$

es posible determinar que $|V_0^i| < \frac{\varepsilon}{\ell} n$.

Aquellos v rtices que no est n en V_0^i , ser n agrupados particionando la recta de largo $2\sqrt{\frac{\ell}{\varepsilon}} n^{-1/2}$ en subintervalos de tama o a lo m s $\left(\frac{\varepsilon^{3/2}}{\ell^{3/2}} \right) n^{-1/2}$. Esta configuraci n provoca gr ficamente el siguiente esquema para cada $u_i(\cdot)$.

** Poner dibujito... **

Por consecuencia, para $i \in [\ell-1]$, la cantidad de partes que genera cada $u_i(\cdot)$ son a lo m s

$$\frac{2\sqrt{\frac{\ell}{\varepsilon}} n^{-1/2}}{\frac{\varepsilon^{3/2}}{\ell^{3/2}} n^{-1/2}} = \frac{2\ell^2}{\varepsilon^2} = O_{\ell,\varepsilon}(1).$$

Para conseguir la partici n deseada de $[n]$, por un lado, se toma la uni n de todos los conjuntos excepcionales V_0^i para dar lugar al conjunto V_0 de tama o a lo m s $(\ell-1) \cdot \frac{\varepsilon n}{\ell} < \varepsilon n$. Por otro lado, combine las particiones generadas por los $\ell-1$ primeros vectores propios mediante un refinamiento usual. As , se consigue una partici n del conjunto de v rtices de G de la forma $[n] = V_0 \cup V_1 \cup \dots \cup V_M$. Dada la construcci n, la cantidad de partes que se obtienen son

$$M(\varepsilon) \leq \left(\frac{2\ell^2}{\varepsilon^2} \right)^\ell \quad (43)$$

Ahora, intuitivamente, se mostrar  que los valores de la matriz T_1 en cada bloque $V_i \times V_j$ son aproximadamente constante, i.e, no var an m s que $o_\varepsilon(1)$. Para esto, como se hizo con los vectores propios, pensamos la matriz de adyacencia como una funci n $T : [n] \times [n] \rightarrow \mathbb{R}$ para identificar sus entradas. De esta manera, para cada $i, j \in [M]$, $a, c \in V_i$, y $b, d \in V_j$,

$$\begin{aligned}
|T_1(a, b) - T_1(c, d)| &= \left| \sum_{i < \ell} \lambda_i u_i(a) u_i(b) - \lambda_i u_i(c) u_i(d) \right| \\
&\leq \sum_{i < \ell} |\lambda_i| |u_i(a) u_i(b) - u_i(c) u_i(b) + u_i(c) u_i(b) - u_i(c) u_i(d)| \\
&\leq \sum_{i < \ell} |\lambda_i| |u_i(b)(u_i(a) - u_i(c)) + u_i(c)(u_i(b) - u_i(d))| \\
&\leq \sum_{i < \ell} n |u_i(b)| |u_i(a) - u_i(c)| + n |u_i(c)| |u_i(b) - u_i(d)| \\
&\leq \ell n \left(2\sqrt{\frac{\ell}{\varepsilon}} n^{-1/2} \cdot \frac{\varepsilon^{3/2}}{\ell^{3/2}} n^{-1/2} + 2\sqrt{\frac{\ell}{\varepsilon}} n^{-1/2} \cdot \frac{\varepsilon^{3/2}}{\ell^{3/2}} n^{-1/2} \right) \\
&= 4\varepsilon.
\end{aligned}$$

912

913 Luego, para $i, j \in [M]$, defina d_{ij} como el promedio de los valores del bloque $V_i \times V_j$ en T_1 y
914 observe que se satisface

$$|T_1(a, b) - d_{ij}| \leq 4\varepsilon, \quad \forall a \in V_i, \forall b \in V_j.$$

915

916 En efecto, como d_{ij} es un promedio, deben existir los pares $(x_0, y_0), (x_1, y_1) \in V_i \times V_j$ tales
917 que $T_1(x_0, y_0) \leq d_{ij}$ y $T_1(x_1, y_1) \geq d_{ij}$. Luego, si $|T_1(a, b) - d_{ij}| > 4\varepsilon$, entonces se encuentra una
918 contradicción al determinar que $T_1(a, b) - T_1(x_0, y_0) > 4\varepsilon$, o bien $T_1(a, b) - T_1(x_1, y_1) < -4\varepsilon$.

919 Usando lo anterior y la desigualdad triangular, para todo $A \subset V_i$ y $B \subset V_j$, obtenemos la
920 siguiente cota.

$$\begin{aligned}
|v_A^T (T_1 - d_{ij} \mathbb{1}_{n \times n}) v_B| &\leq \sum_{a \in A} \sum_{b \in B} |T_1(a, b) - d_{ij}| \\
&\leq 4\varepsilon |A| |B| \\
&\leq 4\varepsilon |V_i| |V_j|.
\end{aligned} \tag{44}$$

921

922 **Analizamos T_2 .** Observe en primer lugar, por construcción,

$$\text{Tr}(T_2^2) = \sum_{\ell \leq j < f(\ell)} \lambda_j^2 \leq \varepsilon^3 n^2.$$

923

924 Adicionalmente, por la ortonormalidad de la base,

$$\begin{aligned}
\sum_{a,b \in [n]} T_2(a,b)^2 &= \sum_{a,b \in [n]} \left(\sum_{\ell \leq i < f(\ell)} \lambda_i u_i(a) u_i(b) \right)^2 \\
&= \sum_{a,b \in [n]} \sum_{\ell \leq i, j < f(\ell)} \lambda_i \lambda_j u_i(a) u_j(a) u_i(b) u_j(b) \\
&= \sum_{\ell \leq i, j < f(\ell)} \lambda_i \lambda_j \sum_{a \in [n]} u_i(a) u_j(a) \sum_{b \in [n]} u_i(b) u_j(b) \\
&= \sum_{\ell \leq i < f(\ell)} \lambda_i^2 \|u_i\|^4 \\
&= \text{Tr}(T_2^2).
\end{aligned}$$

925

926 Entonces, dada la igualdad anterior, se determina que

$$\sum_{a,b \in [n]} T_2(a,b)^2 \leq \varepsilon^3 n^2. \quad (45)$$

927

928 Ahora, defina el conjunto $\Theta_1 \subset [M]^2$ de manera tal que todo par $(i,j) \notin \Theta_1$ satisface

$$\sum_{a \in V_i} \sum_{b \in V_j} T_2(a,b)^2 \leq \varepsilon |V_i| |V_j|. \quad (46)$$

929

930 Más aún, para los pares $(i,j) \in \Theta_1$, la desigualdad (45) en particular establece que

$$\varepsilon^3 n^2 \geq \sum_{(i,j) \in \Theta_1} \sum_{a \in V_i} \sum_{b \in V_j} T_2(a,b)^2 > \varepsilon \sum_{(i,j) \in \Theta_1} |V_i| |V_j|.$$

931

932 Por consecuencia,

$$\sum_{(i,j) \in \Theta_1} |V_i| |V_j| \leq \varepsilon^2 n^2. \quad (47)$$

933

934 De esta manera, para $(i,j) \notin \Theta_1$, $A \subset V_i$ y $B \subset V_j$, utilizamos la desigualdad (46) y Cauchy-
935 Schwarz para conseguir

$$\begin{aligned}
|v_A^T T_2 v_B|^2 &= \left| \sum_{a \in A} \sum_{b \in B} T_2(a, b) \right|^2 \\
&\stackrel{\text{C-S}}{\leq} \left(\sum_{a \in A} \sum_{b \in B} T_2(a, b)^2 \right) |A| |B| \\
&\leq \varepsilon^2 |V_i| |V_j| |A| |B| \\
&\leq \varepsilon^2 |V_i|^2 |V_j|^2.
\end{aligned}$$

936

937 Así, se obtiene la cota asociada a T_2 .

$$|v_A^T T_2 v_B| \leq \varepsilon |V_i| |V_j|. \quad (48)$$

938

939 **Analizamos T_3 .** Note que el valor propio más grande en magnitud de T_3 es $\lambda_{f(\ell)}$. Entonces,
940 utilizando el operador norma * Definir... * de la matriz T_3 y el Teorema 9,

$$\frac{\|T_3 v_B\|}{\|v_B\|} \leq \sup_{\substack{x \in \mathbb{R}^n \\ x \neq 0}} \frac{\|T_3 x\|}{\|x\|} = |\lambda_{f(\ell)}| \leq \frac{n}{\sqrt{f(\ell)}}.$$

941

942 Como resultado,

$$\|T_3 v_B\| \leq \|v_B\| \frac{n}{\sqrt{f(\ell)}}.$$

943

944 Usando la desigualdad anterior junto a Cauchy-Schwarz se obtiene la siguiente cota para T_3 .

$$\begin{aligned}
|v_A^T T_3 v_B| &= |\langle v_A, T_3 v_B \rangle| \\
&\stackrel{\text{C-S}}{\leq} \|v_A\| \|T_3 v_B\| \\
&\leq \|v_A\| \|v_B\| \frac{n}{\sqrt{f(\ell)}} \\
&= \sqrt{|A| |B|} \frac{n}{\sqrt{f(\ell)}} \\
&\leq \frac{n^2}{\sqrt{f(\ell)}}.
\end{aligned} \quad (49)$$

945

946 Ya con el control de T_1 , T_2 y T_3 , nos enfocamos en estudiar G de manera global. Consideramos
947 $\Theta \subset \{0, 1, \dots, M\}^2$ definido de la siguiente manera:

$$\Theta := \left\{ (i, j) \in \{0, 1, \dots, M\}^2 : (i, j) \in \Theta_1 \vee i = 0 \vee j = 0 \vee \min\{|V_i|, |V_j|\} \leq \frac{\varepsilon n}{M} \right\}.$$

948

949 Con esta definici3n, la desigualdad (47), y recordando que $|V_0| < \varepsilon n$,

$$\begin{aligned} \sum_{(i,j) \in \Theta} |V_i||V_j| &= \sum_{(i,j) \in \Theta_1} |V_i||V_j| + \sum_{j=0}^M |V_0||V_j| + \sum_{i=0}^M |V_i||V_0| + \sum_{|V_i| \leq \frac{\varepsilon n}{M}} |V_i||V_j| + \sum_{|V_j| \leq \frac{\varepsilon n}{M}} |V_i||V_j| \\ &\leq \sum_{(i,j) \in \Theta_1} |V_i||V_j| + 2|V_0|n + 2 \sum_{|V_i| \leq \frac{\varepsilon n}{M}} |V_i|n \\ &\leq \varepsilon^2 n^2 + 2\varepsilon n^2 + 2M \frac{\varepsilon}{M} n^2 \\ &\leq 5\varepsilon n^2. \end{aligned}$$

950

951 Al ver la cota anterior, Θ se interpreta como un conjunto excepcional de pocos elementos que
952 contiene los malos casos. Ahora bien, si $(i, j) \notin \Theta$, todo $A \subset V_i$ y $B \subset V_j$ satisfacen la desigualdad

$$\begin{aligned} \left| e(A, B) - d_{ij}|A||B| \right| &= |v_A^T(T - d_{ij}\mathbb{1}_{n \times n})v_B| \\ &\leq |v_A^T(T_1 - d_{ij}\mathbb{1}_{n \times n})v_B| + |v_A^T T_2 v_B| + |v_A^T T_3 v_B| \\ &\leq 4\varepsilon |V_i||V_j| + \varepsilon |V_i||V_j| + \frac{n^2}{\sqrt{f(\ell)}}. \end{aligned} \quad (50)$$

953

954 Observando la desigualdad en (50), para $(i, j) \notin \Theta$, se necesita que $\frac{n^2}{\sqrt{f(\ell)}} \leq \varepsilon |V_i||V_j|$ para
955 asegurar que la partici3n $\{V_0, V_1, \dots, V_M\}$ de $[n]$ es (6ε) -regular. Para esto, gracias a que $|V_i|, |V_j| \geq$
956 $\frac{\varepsilon n}{M}$, se cumple la desigualdad $\frac{\varepsilon^2 n^2}{M^2} \leq |V_i||V_j|$, y por consecuencia

$$\frac{n^2}{\sqrt{f(\ell)}} \leq \frac{M^2 |V_i||V_j|}{\varepsilon^2 \sqrt{f(\ell)}}.$$

957

958 Finalmente, para obtener la partici3n (6ε) -regular del conjunto de v3rtices del grafo G , es sufi-
959 ciente asumir que $\frac{1}{\sqrt{f(\ell)}} \leq \frac{\varepsilon^3}{M^2}$. As3, recordando la cota vista en (43), basta elegir

$$f(x) \geq \frac{1}{\varepsilon^6} \left(\frac{2x^2}{\varepsilon^2} \right)^{4x}.$$

960

□

961 5. Bibliografia

- 962 [1] Krivelevich, M., Sudakov, B. (2006). Pseudo-random Graphs. In Bolyai Society Mathema-
963 tical Studies (pp. 199–262). Springer Berlin Heidelberg.
- 964 [2] Chung, F. R. K., Graham, R. L., Wilson, R. M. (1989). Quasi-random graphs. Combinato-
965 rica. An International Journal on Combinatorics and the Theory of Computing.
- 966 [3] Chan, T. F. N., Král', D., Noel, J. A., Pehova, Y., Sharifzadeh, M., Volec, J. (2020). Charac-
967 terization of quasirandom permutations by a pattern sum. Random Structures Algorithms.
- 968 [4] Hàn, H., Kiwi, M., Pavez-Signé, M. (2021). Quasi-random words and limits of word sequen-
969 ces. Journal Européen de Combinatoire [European Journal of Combinatorics].